

## مرواری بر پراکندگی الکترون در انرژی متوسط

ناصر کلانتر نیستانکی

آزمایشگاه KVI، دانشگاه خروینینگ، هلند

تاریخ دریافت: ۲۹ شهریور ۱۳۷۴

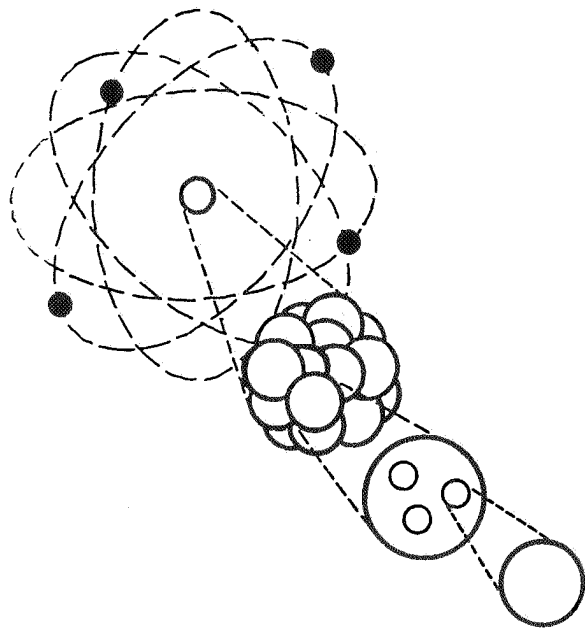
درازفت نسخه نهایی: ۶ دی ۱۳۷۴

### چکیده

با این که بیش از ۸۰ سال از کشف هسته اتم می‌گذرد، هنوز یک نظریه جامع برای نیروی قوی، که عامل نگهدارنده هسته اتم به عنوان یک کل است، تدوین نشده است. در چند دهه اخیر، پراکندگی الکترون شناخت ما را نسبت به ساختمان هسته اتم و دینامیک برهمنش هسته‌ای عمیقتر کرده است. در این مقاله، برخی از مهمترین نتایج بدست آمده از واکنش‌های  $(e, e'pp)$  و  $(e, e'p)$  در انرژی متوسط را به اختصار بررسی خواهیم کرد و نگاهی کوتاه به آینده این بخش از فیزیک هسته‌ای خواهیم داشت.

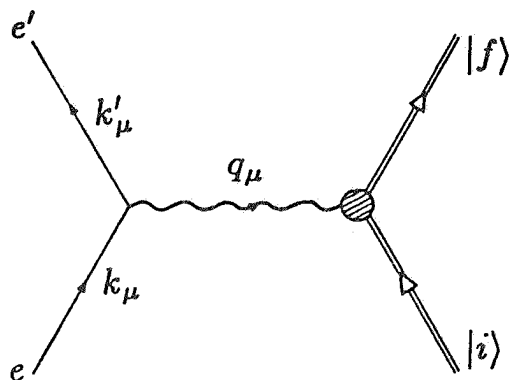
### فهرست

- ۱- مقدمه
  - ۲- پراکندگی با الکترون
  - ۳- شتاب‌دهنده‌ها و آشکارسازها
  - ۴- ساختمان هسته اتم
  - ۵- سازوکار واکنش
  - ۶- نگاهی کوتاه به آینده
  - ۷- جمعبندی
  - ۸- پیوستها
  - ۹- مقدمه
- هسته اتم در سال ۱۹۱۱ توسط را در فورد، گایگر، و مارسدن در آزمایشها که با پراکندگی  $\alpha$  (هسته اتم هلیم) از ورقه‌های نازک فلزی صورت گرفت، کشف شد [۱]. آنها با انجام این آزمایشها به این واقعیت دست یافتند که اتم عمدتاً یک فضای خالی است. هسته اتم، اگرچه وزن اتم را به طور عمدت تشکیل می‌دهد، تنها بخش بسیار کوچکی را در اتم اشغال می‌کند.
- هسته اتم معرف است (نظریه کواتومی دینامیک رنگ)، برای دستیابی به یک نظریه واحد که نیروی هسته‌ای را نیز دربر بگیرد یک تلاش همه‌جانبه در جریان است، منتهی قبل از رسیدن به این هدف لازم است که آن نظریه که اکنون به نظریه نیروی هسته‌ای معروف است (نظریه کواتومی دینامیک رنگ، QCD) به طور کامل شناخته شود و از جهات مختلف محک بخورد.
- از یک سو فیزیک ذره‌ای دانان با پراش در انرژیهای بسیار بالا در تلاش اند که QCD را تکمیل کنند و از سوی دیگر فیزیک هسته‌ای دانان با پراکندگی ذرات گوناگون در انرژیهای پایینتر، در جهت دسترسی به یک نظریه همه جانبه گام



شکل ۱. نمودار طرح وار اتم و اجزای آن زیر ذره‌بین. هرچه جسم زیر ذره‌بین کوچکتر باشد باید ذره‌بین برای رؤیت آن قویتر باشد. در قلمرو فیزیک اجسام ریز، قدرت تفکیک ذره‌بین در واقع تکانه ذره‌ای است که در جسم نفوذ می‌کند.

الکترون از یک هسته که از تراز  $|f\rangle$  می‌رود نشان می‌دهد. چون در مطالعات مورد بحث در این مقاله از انرژی‌های نسبیتی ( $E \gg m_e c^2$ ) استفاده می‌شود، در تمام فرمولهای زیر نیز از جرم الکترون صرف نظر می‌شود. علاوه بر این، در این فرمولها  $c = \hbar = 1$  است. طبیعی است که در محاسبات عددی، این ثابتها به طور صحیح باید مُد نظر قرار بگیرند. بنابراین تکانه الکترون پرتاب شده،  $k$ ، برابر با انرژی آن،  $E_e$  و تکانه الکترون پراکنده شده،  $k'$ ، برابر با انرژی آن،  $E_{e'}$  است. تکانه انتقالی به هسته  $w = E_{e'} - E_e$  است. با یک محاسبه ساده دیده می‌شود که:



شکل ۲. ساده‌ترین نمودار فایمن نمودار برای پراکنده‌گی الکترون از هسته

بر می‌دارند. طبیعی است که در این مسیر طولانی، نظریه شانه به شانه آزمایش پیش می‌رود. آنچه نظریه پیش‌بینی می‌کند باید به تجربه ثابت شود و نتایج تجربی به دست آمده باید توسط نظریه توضیح داده شوند.

در این مقاله با ارائه بخشی از مهمترین نتایج حاصل از پراکنده‌گی الکترونی از هسته‌های مختلف در دو دههٔ اخیر، سعی می‌کنم طرحی از فعالیتهایی که در بخش فیزیک الکترون‌مغناطیس در انرژی‌های متوسط انجام می‌گیرد، ارائه دهم. چون تمامی آزمایش‌های مورد بحث از پراکنده‌گی الکترونی استفاده می‌کنند، در بخش دوم مقاله دلایل پراکنده‌گی با الکترون و نقاط قوت آن با ارائه چند فرمول ساده بررسی خواهد شد. در بخش سوم مقاله، شتاب‌دهنده‌های الکترونی در این گستره انرژی و آشکارسازهای مربوط به اختصار مرور خواهد شد. در بخش بعدی، نتایج به دست آمده از پراکنده‌گی کشسان ( $e, e'$ ) و ناکشسان ( $e, e' p$ ) که در آنها فقط الکترون پراکنده دیده می‌شود و واکنش  $e, e' p$  که در آن به همراه الکترون پراکنده شده پروتونی که از هسته به خارج پرتاب شده است نیز ردیابی می‌شود، ارائه خواهد شد و بدین ترتیب اطلاعات به دست آمده درباره ساختمان هسته اتم مورد بررسی قرار خواهد گرفت. بخش پنجم به دینامیک واکنش اختصاص یافته است. در اینجا واکنش‌های دیگری همچون  $(e, e' pp)$  که در آن دوپروتون از هسته کنده و ردیابی می‌شوند، نیز مورد بحث قرار خواهند گرفت. پس از نگاهی کوتاه به آینده این بخش از فیزیک هسته‌ای، مقاله جمع‌بندی خواهد شد.

## ۲- پراکنده‌گی با الکترون

پدیده پراکنده‌گی از دیرباز برای شناخت محیط اطراف مورد استفاده قرار گرفته است. بهترین مثال برای این موضوع پراکنده‌گی نور و یا امواج آب از اجسام است. برای شناخت اجسام ریز مانند اتم و یا هسته آن می‌توان از ذرات کوانتومی استفاده کرد که حامل دوگانگی ذره و موج هستند. مثلاً با شتاب‌دادن یک ذره به تکانه  $P$  می‌توان اجسامی را که حدود بزرگی آنها  $\frac{\hbar}{p} = \lambda$  است مورد مطالعه قرار داد (شکل ۱). با یک محاسبه ساده مشاهده می‌شود که برای بررسی هسته اتم به قطر  $5$  فرمی ( $10^{-15} \times 5$  متر) باید ذره مورد نظر تکانه‌ای بیشتر از  $250$  MeV/c داشته باشد. انرژی این ذره نیز با معلوم بودن از  $E = m^2 c^2 + p^2 c^2$  به دست می‌آید. قبل از پرداختن به این مسئله که پراکنده‌گی با الکترون چه مزیتهاست دارد بهتر است که سینماتیک پراکنده‌گی الکترون (و یا هر ذره با انرژی نسبیتی) را مرور کنیم.

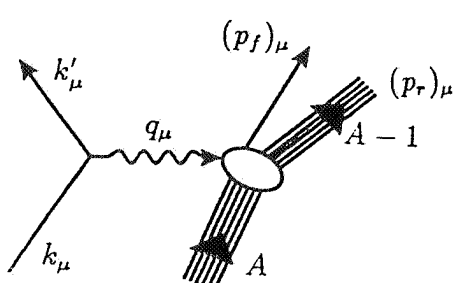
شکل ۲ ساده‌ترین نمودار فایمن را برای پراکنده‌گی

مستقل در هسته،  $\vec{P}_m$  در واقع تکانه ذره مورد نظر قبل از برخورد در درون هسته است:  $\vec{P}_m = -\vec{P}_i$

اما چرا پراکندگی با الکترون؟ پاسخ به این سؤال با سه دلیل خیلی ساده داده می شود. دلیل اول آن است که برهم کنش الکترون با هسته اتم عمدتاً برهم کنش الکترومغناطیسی است، که نظریه آن کاملاً شناخته شده است.

دلیل دوم کوچک بودن ثابت این برهم کشن،  $\alpha = 1/137$ ، است که انجام محاسبات را در چارچوب نظریه اختلال بسیار آسان می کند. برای هسته هایی که  $z \ll \alpha z$  (بار الکتریکی هسته است)، می توان تابع موج الکترون را چه قبل از برخورد و چه بعد از آن با امواج تخت (PW) بیان کرد.علاوه براین، الکترون در فرایند برهم کنش الکترومغناطیسی با هسته مورد مطالعه بسیار کمتر از ذراتی همچون پروتون تداخل می کند. به بیان دیگر، الکترون را می توان به عنوان یک وسیله بسیار تمیز شناخت که یکبار با هسته برهم کنش می کند و چون این برهم کنش کاملاً شناخته شده است، می توان از این طریق به مشخصات هسته مورد مطالعه دسترسی پیدا کرد.

دلیل سوم استفاده از الکترون این است که فرایند پراکندگی با الکترون یک فرایند «شیه فضا» است، بدین معنی که چهار تکانه فوتون واسطه همیشه منفی است (به فرمول ۲ مراجعه کنید) و فوتون مبادله شده بین الکترون و هسته اتم، یک فوتون مجازی است. چون جرم این فوتون را می توان به دلخواه تغییر داد، این انعطاف پذیری وجود دارد که  $w$  و  $\vec{q}$  نیز مستقل از یکدیگر باشند (توجه کنید که برای فوتون واقعی  $|\vec{q}|$  همیشه برابر با  $w$  است). در اینجاست که یکی از نقاط قوت الکترون نسبت به فوتون برجسته می شود. با درنظر گرفتن این واقعیت که  $w$  ( جدا پس زنی ) انرژی تراز در هسته مورد مطالعه نیز هست می توان به آسانی دید که هر تراز را می توان در گستره  $\vec{q}$  مطالعه کرد. از طرف دیگر،  $|\vec{q}|$  رابطه مستقیم با طول موج الکترونی دارد که با هسته برخورد می کند. درنتیجه با افزایش



شکل ۳. ساده ترین نمودار فایمن برای پراکندگی از یک هسته که منجر به پرتاب یک نوکلئون به بیرون از هسته نیز می شود. در سمت راست دیده می شود که چگونه دختر - هسته که با انرژی جنبشی  $T_r$  پس می زند می تواند برانگیخته شود.

$$|\vec{q}|^2 = w^2 + 4E_i E_f \sin^2 \theta/2 \quad (1)$$

که در آن  $\theta$  زاویه بین بردارهای  $\vec{k}$  و  $\vec{k}'$  است. طبق تعریف چهار تکانه،  $q_\mu$ ، رابطه زیر به دست می آید:

$$q_\mu^2 = w^2 - q^2 = -4E_i E_f \sin^2 \theta/2 \quad (2)$$

این رابطه نشان می دهد که در پراکندگی با الکترون در  $\theta \neq 0$ ،  $q_\mu^2$  همیشه منفی است (در پراکندگی با فوتون  $q_\mu^2 = 0$ ). به عنوان مثال برای پراکندگی کشسان:

$$w = -\frac{q_\mu^2}{2M_{tar}} \quad (3)$$

که در آن  $M_{tar}$  جرم هدف است. بنابراین، برای اهداف سنگین این پس زنی ناچیز است و برای این نوع پراکندگی، غالباً از  $w$  استفاده می شود.

اگر در فرایند برخورد، یک ذره مانند پروتون به بیرون پرتاب شود (شکل ۳) و انرژی یا تکانه این ذره نیز اندازه گیری شوند، دو متغیر جدید می توان معرفی کرد که تابعی از انرژی و تکانه ذره مورد نظر و انرژی و تکانه منتقل شده به هسته هستند. اولی انرژی گمشده (یا فقدان انرژی)،  $E_m$  است:

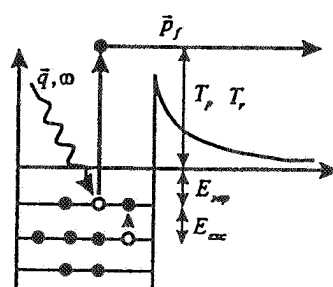
$$E_m = w - T_p - T_{rec} \quad (4)$$

که در آن  $T_p$  انرژی جنبشی ذره پرتاب شده و  $T_{rec}$  انرژی پس زنی به دختر - هسته است. اگر از این انرژی، انرژی پیوند ( $E_{BE}$ ) نوکلئون را نیز کم کنیم، حاصل، انرژی برانگیختگی در دختر - هسته است:  $E_X = E_m - E_{BE}$

دومین متغیر عبارت است از تکانه گمشده،  $P_m$ :

$$\vec{p}_m = \vec{q} - \vec{p}_p \quad (5)$$

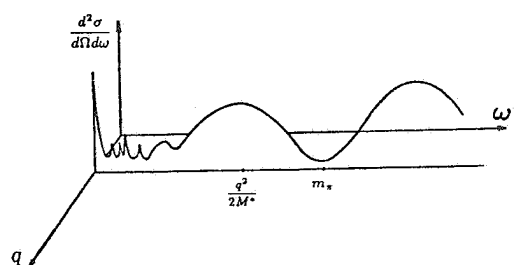
که در آن  $\vec{P}_m$  تکانه ذره است. در تصویر ساده برخورد با ذرات



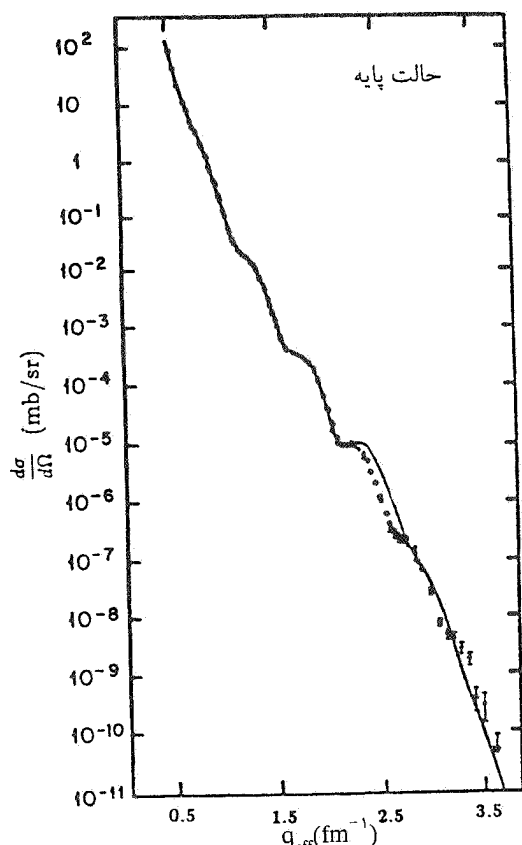
می شوند. در انرژی انتقالی برابر با  $\frac{q^2}{2M_N}$  برخورد الکترون با یک نوکلئون که در حالت شباهت آزاد در هسته در حرکت است به وقوع می پیوندد. این مقدار انرژی در واقع برابر با پس زنی است که نوکلئونی با جرم  $M_N$  در تکانه انتقالی  $q$  دریافت می کند. در انرژیهای بالاتر نیز می توان نوکلئونهای برانگیخته را از هسته به بیرون پرتاپ کرد. اولین تراز انرژی برای نوکلئون برانگیخته  $\Delta$  با اسپین  $\frac{3}{2}$  است که دارای جرمی که در حدود  $123^\circ \text{ MeV}$  است. در یک تصویر ساده می توان گفت که در این تراز هر سه کوارک اسپینهای خود را هم جهت کرده اند. همان طور که در بالا گفته شد، این شکل مقطع مؤثر را برای یک تکانه انتقالی ثابت نشان می دهد. طبیعی است که با تغییر تکانه انتقالی، هر ترازی واکنشی متفاوت نشان خواهد داد. شکل ۵ درواقع تراز پایه و اولین تراز برانگیخته در هسته سرب را نشان می دهد. این بار  $w$  ثابت است ( $w = 15^\circ \text{ MeV}$ ) یا  $26^\circ \text{ MeV}$  برای تراز پایه و برانگیخته) و تکانه انتقالی به هسته تغییر می کند. با بالارفتن تکانه انتقالی، مقطع مؤثر کوچکتر می شود و همین، بزرگترین مشکل در اندازه گیریهای دقیق در تکانه های انتقالی بالاست. به همین دلیل نیز خطای اندازه گیری بیشتر و بیشتر می شود (شکل ۵).

۱۹۱ می توان دقت در مطالعه هسته اتم را افزایش داد. به همین دلیل نیز ساختمان هسته اتم در تراز زمینه از سال ۱۹۵۳<sup>۱</sup>، که اولین آزمایشها با الکترون روی پروتون توسط هفشتادتر [۲] در دانشگاه استانفورد انجام گرفت، عمدتاً با پراکندگی الکترون مورد مطالعه قرار گرفته است.

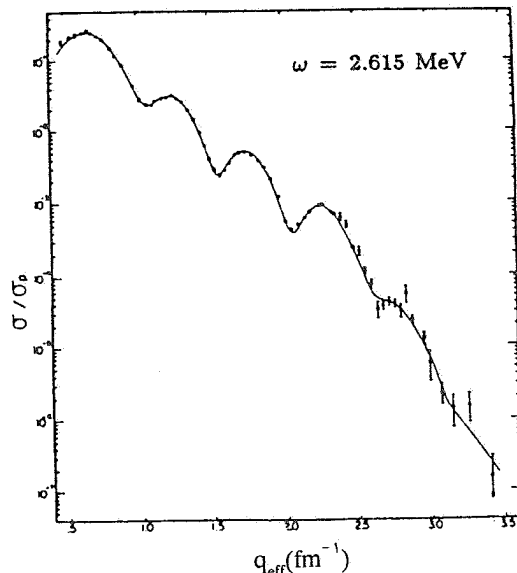
برای روشن شدن این مسئله که چگونه می توان از استقلال  $q$  و  $w$  برای مطالعه هسته اتم استفاده کرد، بهتر است به اشکال ۴ و ۵ مراجعه شود. در شکل ۴، مقطع مؤثر را در یک واکنش بر حسب  $w$  و برای یک تکانه انتقالی ثابت رسم کرده ایم. جدا از پس زنی هسته پس از برخورد،  $w = 0$  تراز زمینه را نشان می دهد. پس از آن نیز ترازهای جدا یکی پس از دیگری برانگیخته می شوند. تشکیل هایی همچون آبرتشدید دوقطبی که در آن تمام نوکلئونها شرکت دارند نیز به صورت یک کوه کوچک و با پهنای بیشتر از ترازهای قبلی نمایان



شکل ۴. مقطع مؤثر رسم شده در یک مقدار  $q^2$  و بر حسب  $w$ . جرم  $M$  نوکلئون است.



شکل ۵. مقطع مؤثر و ضریب فرم به ترتیب برای ترازهای اصلی و  $15^\circ \text{ MeV}$  در هسته سرب.



شکل ۵. مقطع مؤثر و ضریب فرم به ترتیب برای ترازهای اصلی و  $15^\circ \text{ MeV}$  در هسته سرب.

$$F(q) = 1 - \frac{q^2}{6} \int d^3 r \rho(r) r^2 + \dots = \\ 1 - \frac{q^2}{6} \langle r^2 \rangle + \dots$$

در اینجا  $\langle r^2 \rangle \equiv \int d^3 r r^2 \rho(r)$ ، بنابراین:

$$\langle r^2 \rangle = -\epsilon \frac{dF(q)}{dq^2} \Big|_{q=0} \quad (7)$$

از سوی دیگر در آزمایش، با دردست داشتن تعداد ذرات ریدیابی شده در مطالعه یک تراز خاص، مقطع مؤثر،  $\frac{d\sigma}{d\Omega}$ ، برای آن تراز را می‌توان به دست آورد. از این مقطع مؤثر به کمک رابطه ساده زیر

$$\frac{d\sigma}{d\Omega} = \sigma_{\text{mott}} |F(q)|^2 \quad \text{که در آن} \\ \sigma_{\text{mott}} = \frac{\alpha^2 \cos^2 \theta/2}{4E_i^2 \sin^4 \theta/2}$$

مقطع مؤثر هسته‌ای است که هیچ بعد فیزیکی ندارد، ضریب فرم را به دست می‌آید که می‌تواند با نظریه مقایسه شود.  
به طور خلاصه:

$$\text{معادله شروdinگر} \rightarrow \frac{d\sigma}{d\Omega} \rightarrow |F(q)| \Leftrightarrow \rho \Leftrightarrow F(q) \rightarrow \text{تعداد ذرات پراکنده شده}$$

آزمایش

## ۲-۱ از آزمایش تا نظریه و برعکس

با دردست داشتن پتانسیل برای یک سیستم می‌توان با استفاده از معادله شرودینگر، انرژی وتابع موج ترازهای مختلف را در انرژیهای غیرنسبیتی به دست آورد. چگالی بار تراز که برابر مریع تابع موج است ( $|ψ|=ρ$ ) در یک تبدیل فوریه ضریب فرم را به دست می‌دهد:

$$F(q) = \int d^3 r \rho(r) e^{iq \cdot \vec{r}} / \hbar \quad (8)$$

ضریب فرم در واقع تعریف شکل جسم مورد مطالعه است. با یک بسط ساده می‌توان از ضریب فرم، شعاع میانگین این جسم را نیز به دست آورد

$$F(q) = \int d^3 r \rho(r) \left( 1 + iq \cdot \vec{r} - \frac{1}{2} (\vec{q} \cdot \vec{r})^2 + \dots \right) \\ = 1 + iq \cdot \vec{d} - \frac{1}{2} \int d^3 r \rho(r) (\vec{q} \cdot \vec{r})^2 + \dots$$

اگر  $(r) = \rho(\vec{r})$ ، یعنی سیستم قرینه کروی باشد:

$$\vec{d} = \int d^3 r \vec{r} \rho(r) = 0$$

از این رو

نظریه

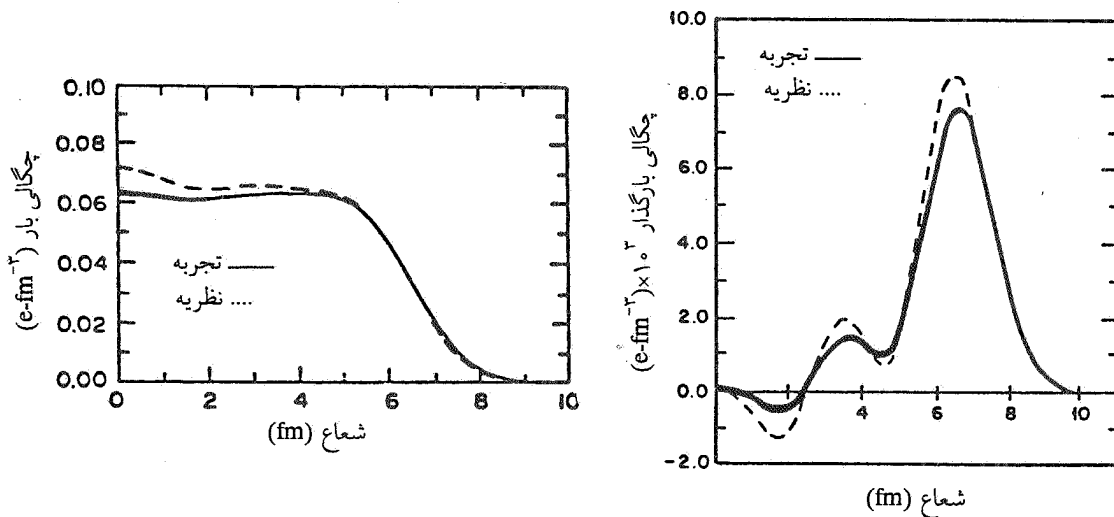
توضیح دهنده. البته باید خاطر نشان کرد که در این محاسبات فرض شده است که تمام لایه‌های هسته پایینتر از انرژی فرمی، به طور کامل پر شده‌اند که این خلاف مشاهدات دیگر است (به این مسئله باز خواهیم گشت).

## ۳- ستاده‌های و آشکارسازها

برای ستاده دادن به ذرات باردار از نیروی الکترومغناطیسی استفاده می‌شود. نوع ذره و گستره انرژی آن معمولاً نوع ستاده دهنده را نیز تعیین می‌کند. مثلاً برای ستاده دادن به ذراتی مانند پروتون و یا یونهای سنگین در گستره انرژی پایین (غیرنسبیتی) می‌توان از سیکلوترون استفاده کرد. در انرژیهای بالاتر، سیکلوترون از ستاده دادن و نگاه داشتن ذرات در میدان الکترومغناطیسی عاجز می‌ماند. ذراتی مانند الکترون خیلی

به جای ضریب فرم تجربی، می‌توان با یک تبدیل از «چگالی بار» تجربی نیز صحبت به میان آورد. تنها مشکل در اینجا، این است که در انتگرال تبدیل، دانستن فرم  $F(q)$  برای  $q \leq \infty$  الزامی است، که این هم، همان‌طور که در بالا ذکر شد، با محدودیتها بسیار جدی در آزمایش روبه‌رو است. با وجود این، چون  $|F(q)|$  سیر نزولی دارد و به همین دلیل در تکانه‌های بالا تأثیر کمتری در انتگرال دارد، محاسبه انتگرال با تقریب‌های معقول عملی است.

شکل ۶ تبدیل فوریه دو ترازی که در شکل ۵ رسم شده‌اند را نشان می‌دهد. شکل سمت چپ چگالی بار را در هسته سرب بر حسب شعاع هسته نشان می‌دهد. پهنه‌ای خط تجربی در واقع بیانگر خطای آزمایش و انجام انتگرال تبدیل است. محاسبات نظری رسم شده محاسبات پیچیده‌ای هستند که با تمام پیچیدگی هنوز نمی‌توانند مشاهدات را به طور کامل



شکل ۶. چگالی بار تراز اصلی و اولین تراز برانگیخته در هسته سرب ( $w = 2\text{ MeV}$ ). این چگالیها در این تبدیل فوریه‌ای داده‌های مربوط در شکل ۵ هستند.

دسته‌های جداگانه (تبی) به کاواکهای شتابدهنده فرستاده می‌شوند و در انتقال از یک کاواک به کاواک بعد انرژی کسب می‌کنند. بعد از اتمام فرآیند شتاب، الکترونها وارد یک حلقه می‌شوند که آنها را از حالت دسته‌ای به حالت پیوسته درمی‌آورد (دلیل این کار را در قسمت ۵ خواهید دید). پس از خروج از حلقه، الکترونها به سمت هدف مطالعه هدایت می‌شوند. جدول ۱ مهمترین پارامترهای شتابدهنده الکترونی و حلقه مذکور را نشان می‌دهد.

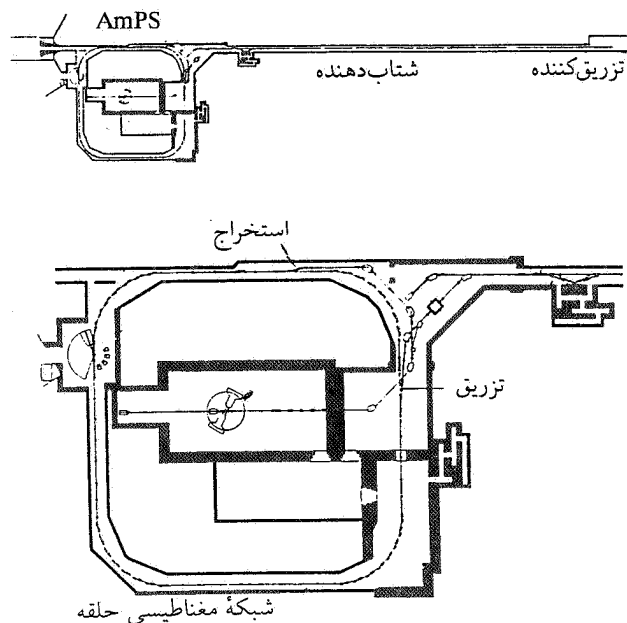
جدول ۱. مهمترین پارامترهای شتابدهنده الکترونی MEA و حلقه

	MEA در آمستردام	AMPS
$\sim 700 \text{ MeV}$	بیشینه انرژی (در $0^\circ$ )	
$\sim 80 \text{ mA}$	بیشینه جریان لحظه‌ای در شتابدهنده	
$\sim 25 \mu\text{A}$	بیشینه جریان الکترون خروجی حلقه	
$\sim 200 \text{ mA}$	جریان ذخیره شده در حلقه (در $600 \text{ MeV}$ )	
$\sim 200 \text{ Hz}$	سرعت تزریق	
$\sim 2.1 \mu\text{s}$	پهنهای تپ	
$> 7.90$	راندمان زمانی شتابدهنده با حلقه	
$\sim 200 \text{ m}$	طول شتابدهنده	
$\sim 212 \text{ m}$	محیط حلقه	

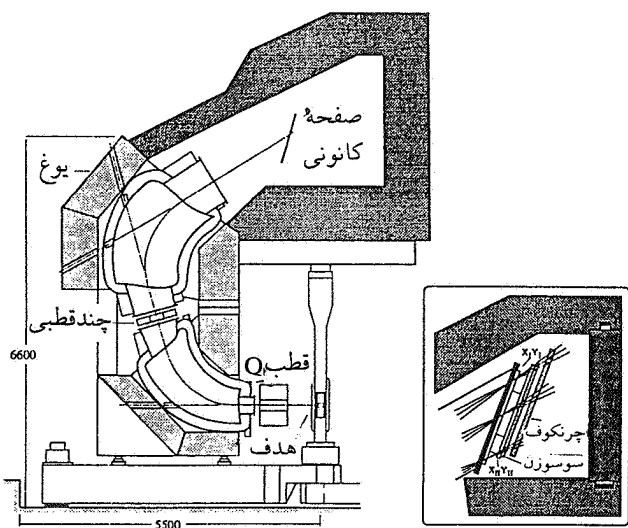
در این گستره انرژی، علاوه بر این شتابدهنده،

سریع به انرژیهای نسبیتی می‌رسند، بدین معنی که انرژی جنبشی ذره بیشتر از جرم آن می‌شود. به همین دلیل نیز الکترون را از دیربارز در شتابدهنده‌های خطی شتاب می‌دهند.

شکل ۷ شتابدهنده الکترونی موجود در آمستردام را به صورت طرح‌وار نشان می‌دهد. الکترونها به صورت



شکل ۷. تصویری از شتابدهنده الکترونی آمستردام. شکل بالا شتابدهنده  $200$  متری، به علاوه حلقه و سالن آزمایش را نشان می‌دهد. شکل پایین بزرگ شده حلقه و سالن آزمایش است.



شکل ۸. سطح مقطعی از طیف‌سنجد مغناطیسی QDD و صفحه کانونی آن. اندازه‌های مربوط همه بحسب میلیمتر هستند.

آشکارساز چرنکف الکترون بودن ذره وارد را تضمین می‌کند. برای اطلاعات بیشتر از این سیستمهای آشکارساز می‌توانید به [۳] مراجعه کنید.

با داشتن شدت میدان مغناطیسی،  $B$ ، می‌توان تکانه ذره آشکارشده را با فرمول زیر محاسبه کرد:

$$P = q \cdot v \cdot B \quad (8)$$

که در آن  $P$  تکانه ذره،  $q$  بار الکتریکی آن، و  $v$  شعاع انحنایت. بنابراین، طیف‌سنجد مغناطیسی در واقع تکانه سنجد است. اگر

جدول ۲. پارامترهای مورد استفاده در طراحی طیف‌سنجد مغناطیسی QDD

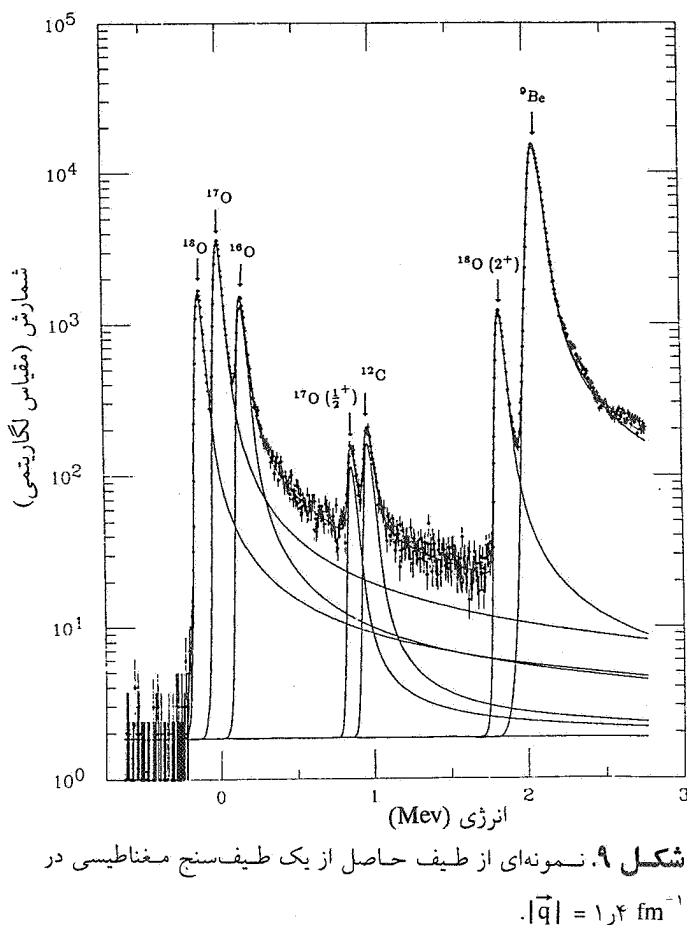
وزن	۱۲۰ تن
وزن فلز محافظ	۱۲۸ تن
شعاع انحنای	۴ متر
تکانه بیشینه	۶۰۰ MeV/c
بیشینه میدان مغناطیسی	۱۴۳ T
زاویه خم	$2 \times 75$ درجه
بزرگی دریچه زاویدای	$\Delta\theta \times \Delta\phi = 80 \times 80 \text{ mrad}^2$
زاویه فضایی	$\Delta\Omega = 5 \text{ msr}$
بزرگی دریچه تکانه	$\% ۱۰$
قدرت تفکیک	$< 3 \times 10^{-4}$

شتات‌دهنده MIT-Bates در کمبریج آمریکا، شتاب‌دهنده MAMI در ماینر آلمان، شتاب‌دهنده VEPP در نووسیبرسک روسیه، شتاب‌دهنده ELSA در بن آلمان و چند شتاب‌دهنده دیگر از این دست با شتاب‌دادن الکترون، فیزیکدانان را در مطالعات فیزیک هسته‌ای یاری می‌کنند.

برای مطالعه خواص هسته، همان‌طور که که در قسمت قبل ذکر شد، مقطع مؤثر فرایند برخورد باید بر حسب متغیرهای مختلف اندازه‌گیری شود. این که کدام متغیر انتخاب می‌شود به موضوع مورد مطالعه بستگی دارد. مثلاً برای اندازه‌گیری چگالی بار الکتریکی هسته لازم است که تراز اولیه و نهایی هسته یکسان باشد. این بدان معنی است که  $w$ ، جدا از انرژی پس‌زنی باید صفر باشد. پس لازم است که انرژی الکترون پس از برخورد اندازه‌گیری شود. از طرف دیگر، برای نفوذ به درون هسته در فواصل مختلف باید مقطع مؤثر بر حسب  $q$  اندازه‌گیری شود. همان‌طور که در فرمول ۱ دیده شد، با داشتن  $E_f$ ،  $E_i$  و  $w$ ، تغییر در  $q$  به وسیله تغییر در  $\theta$  حاصل می‌شود. پس به طور خلاصه، برای اندازه‌گیری بار الکتریکی، انرژی الکترون را در زوایای مختلف انجام پذیر است. در اینجا به دلیل محدودیت فضا، یک سیستم یعنی طیف‌سنجد مغناطیسی و آشکارسازهای مربوط را به طور خلاصه مورد بررسی قرار می‌دهیم.

شکل ۸ یکی از طیف‌سنجهای مغناطیسی موجود در آمستردام را به صورت طرح وار نشان می‌دهد. این طیف‌سنجد که از نوع QDD (چهارقطبی - دوقطبی - دوقطبی) است با کانونی کردن و خم کردن الکترونهای پراکنده از هدف به اندازه  $150^\circ$  آنها را به آشکارسازهای مربوط می‌رساند. برای آشناشدن با این گونه وسایل، در جدول ۲ بعضی پارامترهای مربوط به این طیف‌سنجد آمده است.

در صفحه کانونی این طیف‌سنجد، آشکارسازهای مختلف قرار دارند که به وسیله آنها الکترونهای ردیابی می‌شوند. در این طیف‌سنجد به خصوص، دو «اتفاق سیم» که هر کدام در جهتهای  $x$  و  $y$  دارد، یک لایه سوسوزن و یک لایه چرنکف وجود دارد. اتفاق سیم برای تعیین مختصات ذره به کار می‌رود. سوسوزن برای راه‌اندازی رویداد است و



شکل ۹. نمونه‌ای از طیف حاصل از یک طیفسنج مغناطیسی در  $|q| = 1 \text{ fm}^{-1}$ .

ماهیت ذره معلوم نباشد باید با روش دیگری انرژی ذره را نیز اندازه گرفت تا بتوان نوع ذره را هم تعیین کرد.

باید توجه داشت که قدرت تفکیک بسیار بالای طیفسنج مذکور برای مطالعات ساختمان هسته ضروری است. شکل ۹ یک نمونه از طیف به دست آمده از هدف  $\text{BeO}$  که در آن  $\text{N}_0$  درصد بالایی دارد را نشان می‌دهد. واضح است که تفکیک ایزوتوپهای اکسیژن و همچنین ترازهای برانگیخته مستلزم قدرت تفکیکی است که در جدول فوق آمده است.

برای آزمایشها یکی که در آنها متغیرهای دیگری همچون فقدان انرژی یا فقدان تکانه باید اندازه گیری شود، طبیعی است که غیر از الکترون، ذره یا ذرات دیگر را نیز باید ریدیابی کرد. در این صورت، به آشکارسازهای دیگر نیاز است. مثلاً برای آزمایشها یکی که به قدرت تفکیک بالا نیاز دارند، سیستم آشکارساز دوم نیز از نوع طیفسنج مغناطیسی است و در آزمایشها یکی که مقطع موثر بسیار پایین است، آشکارسازهایی با زاویه فضایی بزرگتر لازم است. آزمایشها یکی که در این مقاله بررسی می‌شوند درواقع هر دو سیستم را شامل می‌شوند.

#### ۴- ساختمان هسته اتم

همان طور که در بخش دوم این مقاله گفته شد، پراکنده‌گی با الکترون یکی از بهترین روش‌هایی است که با آن می‌توان ساختمان هسته اتم را مطالعه کرد. الکترون به دلیل واکنش نسبتاً ضعیفی که با نوکلئونها دارد به آسانی به درون هسته نفوذ می‌کند و به همین دلیل نیز برای مطالعه چگالی بار هسته، الکترون از ابتدا بر دیگر ذرات ترجیح داده شده است.

$$\frac{d\sigma}{d\Omega} = Z^2 \sigma_{\text{mott}} \eta \left\{ \frac{q_\mu^2}{|\vec{q}|^4} |F_L|^2 + \left[ -\frac{1}{2} \left( \frac{q_\mu}{|\vec{q}|^2} \right) + \tan^2 \left( \frac{\theta}{2} \right) \right] |F_T|^2 \right\} \quad (9)$$

عرضی،  $F_L$ ، در واکنش کشسان ( $e, e'$ ) درواقع بار هسته است (برای درک بیشتر رابطه بین ضرایب فرم با جزیانات هسته‌ای، به پیوست ۱ مراجعه کنید). بنابراین، با اندازه گیری این ضریب فرم در یک گستره معقول می‌توان به چگالی بار هسته دست یافت. شکل ۱۰ چگالی بار به دست آمده را برای هسته‌های

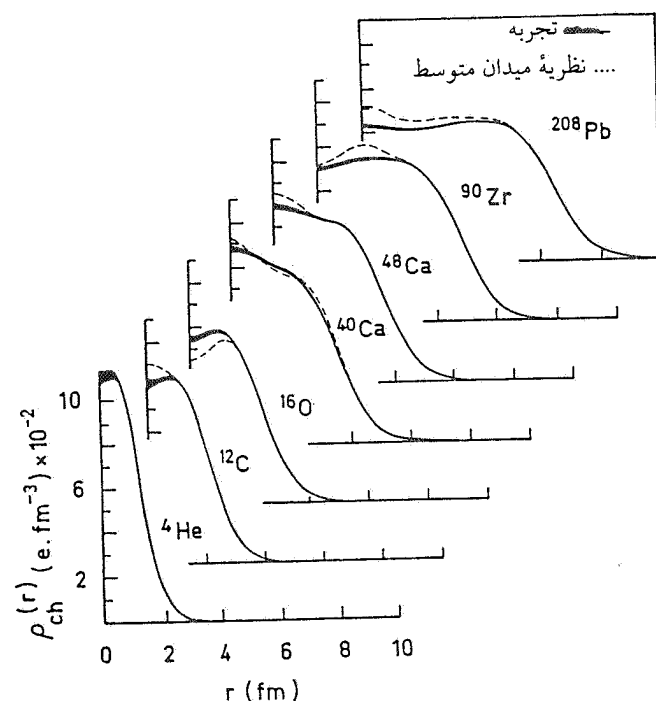
که در آن  $Z$  بار الکتریکی هسته یا عدد اتمی،  $|F_L|^2$  و  $|F_T|^2$  ضرب به ترتیب ضرایب فرم عرضی و طولی هستند و  $\eta$  ضرب پس زنی هسته است:

$$\eta = \left( 1 + \frac{2E_i}{M_{\text{tar}}} \sin^2(\theta/2) \right)^{-1} \quad (10)$$

بنقیه نمادها در بخش دوم تعریف شده‌اند. تبدیل فوریه ضریب

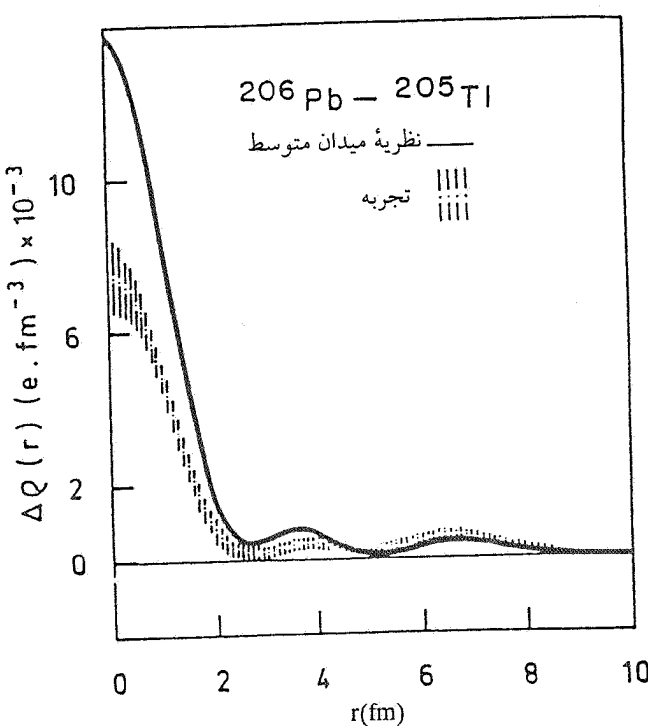
کاستیهای این نظریه که در شکل ۱۰ مشاهده می‌شود این است که این نظریه نمی‌تواند چگالی بار داخل هسته را همیشه به طور دقیق پیش‌بینی کند. برای این که روشن شود این مشکل دقیقاً در کدام لایه قرار می‌گیرد (مفهوم لایه و مدل لایه‌ای [۶] به طور خیلی خلاصه در پیوست ۲ آمده است) می‌توان دو آزمایش انجام داد که در آن چگالی بار  $^{205}\text{Pb}$  و  $^{205}\text{TL}$  اندازه‌گیری شده است. اگر این دو چگالی بار را از یکدیگر کم کیم، در یک تصویر ساده، حاصل باید چگالی مدار  $^{3S_{1/2}}$  باشد. شکل ۱۱ نتیجه آزمایشها و همچنین محاسبه‌ای که در آن، این تصویر ساده به کار گرفته شده است را نشان می‌دهد [۷]. روشن است که نظریه میدان متوسط تمام حقیقت نیست؛ به خصوص در داخل هسته، حتی برای مدارهای نزدیک به سطح فرمی، یعنی مدارهای ظرفیت به نظر می‌رسد که آخرین پروتون، قسمتی از این مدار و قسمتی از مدارهای بالاتر از سطح فرمی را پر کرده است. متنهای این که کدام یک از مدارها در این امر مشارکت کرده‌اند از این نوع آزمایشها معلوم نمی‌شود.

یکی از نقاط منفی مقایسه دو هسته که تفاوت آنها در یک پروتون است این است که تعداد پروتونها در یکی از آنها زوج و در دیگری فرد است. جفت شدن در هسته یکی از خواص



شکل ۱۰. توزیع چگالی بار برای چند هسته دو بار جادویی (لایه‌های پروتونی و نوترونی هر دو پُرند).

مختلف در یک مجموعه نشان می‌دهد [۵]. یکی از مهمترین نتایج به دست آمده از این سری آزمایشها، تأیید اشباع چگالی بنایه خاصیت نیروی هسته‌ای برای هسته‌های متوسط و بزرگ است. این بدان معنی است که اضافه کردن نوکلئون به یک هسته باعث افزایش چگالی بار هسته نمی‌شود بلکه فقط حجم (یا شعاع) آن را زیاد می‌کند. به همین دلیل، شعاع هسته‌های سنگین متناسب با  $A^{1/3}$  است. یکی دیگر از نتایج مهم این مطالعات، محک‌زدن نظریه‌های میدان متوسط است. این نظریه ساده که در آن هر نوکلئون در یک میدان متوسط حاصل از تمام نوکلئونهای دیگر، حرکت می‌کند، در گذشته برای پیش‌بینی بسیاری از مشاهده‌پذیرها نسبتاً موفق بوده است. در شکل ۱۰ دیده می‌شود که محاسبه‌ای که با این نظریه انجام شده است به نتایج تجربی خیلی نزدیک است ولی کاستیهای نیز دارد. در واقع خیلی عجیب است که این نظریه می‌تواند تا این حد هم موفق باشد زیرا در این نظریه نوکلئونهایی که نزدیک به سطح فرمی حرکت می‌کنند تحت تأثیر همان میدانی هستند که نوکلئونهای اعمق را تحت تأثیر قرار می‌دهد. البته در محاسبات دقیق‌تر، اختلالهای حاصل از برهم‌کنش بین نوکلئونهای سطوح مختلف نیز وارد می‌شوند. یکی از



شکل ۱۱. حاصل تفریق چگالی بار  $^{205}\text{Tl}$  از  $^{206}\text{Pb}$

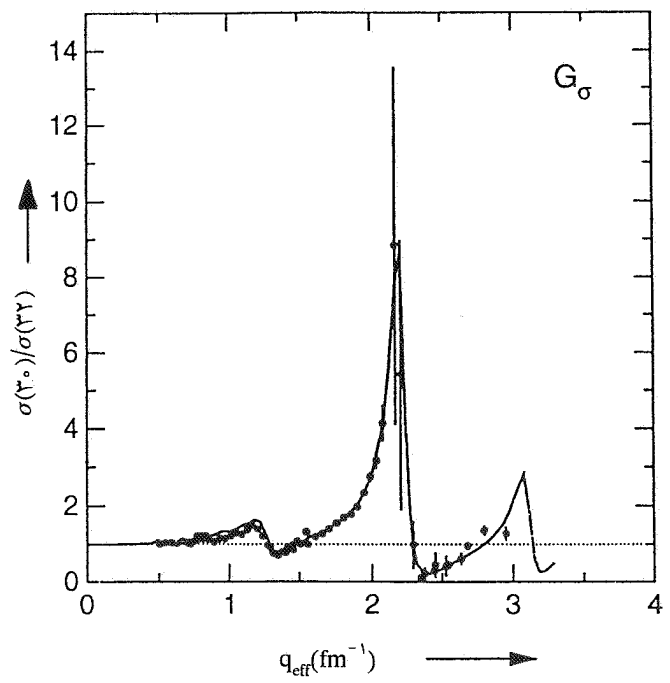
در مدار  $2S_{1/2}$  ،  $2S_{1/2}$  ،  $2S_{1/2}$  ،  $2S_{1/2}$  پروتون در مدار  $1d_{5/2}$  ،  $1d_{5/2}$  ،  $1d_{5/2}$  پروتون در مدار  $1d_{5/2}$  ،  $1d_{5/2}$  پروتون در مدار  $1d_{3/2}$  و  $1d_{3/2}$  پروتون در مدار  $1d_{7/2}$  قرار دارد. باز هم دو مدار آخر، بالای سطح فرمی قرار دارند. همان طور که در مورد سرب نیز دیده شد، به نظر می رسد که مداری که گشتاور مداری صفر دارد ( $2S_{1/2}$  و  $3S_{1/2}$ ) باید خالیتر از مداری باشد که تصویر ساده مدل لایه ای نشان می دهد. باز هم باید تأکید کرد که این آزمایشها از تعیین این که پروتونها دقیقاً در کدام مدار قرار گرفته اند عاجزند و به همین دلیل نیز برای تعیین درجه اشغال مدارها باید به برآش همزمان برای چند مدار متولّ شد.

یکی دیگر از واکنشهایی که به تعیین درجه اشغال مدار کمک می کند مطالعه ساختار مغناطیسی هسته در صورت امکان است. بهترین هسته ها برای این کار آنها بیان هستند که فقط یک نوکلئون در آخرین مدار ممکن (در تصویر ساده) دارند. برای مثال می توان  $^{17}_0 Si$  را در نظر گرفت که علاوه بر هسته مرکزی  $^{16}_0 Si$  که دارای اسپین صفر است یک نوترون در مدار  $1d_{5/2}$  دارد که همین نوترون اسپین این هسته را  $(\frac{5}{2})$  تعیین می کند. در انجام آزمایش پراکندگی کشسان از این هسته، چند قطبیهای  $M_1$  ،  $M_2$  و  $M_5$  وجود دارند که جمع جبری مریع قدر مطلق آنها ضریب فرم مغناطیسی هسته را تعیین می کند.

(مراجعه شود به فرمول پ - ۱۶ در پیوست ۱). چون این ضریب یک ضریب عرضی است و این هسته به دلیل داشتن بار الکتریکی یک ضریب فرم طولی نیز دارد، در انجام آزمایش باید با انتخاب سینماتیکهای مناسب بر طبق فرمول (۹)، این ضریب را از ضریب طولی جدا کرد. شکل ۱۳، مریع ضریب عرضی، که در اینجا فقط مغناطیسی است، (فرمول پ - ۲۹ در پیوست ۱)، را به همراه یک محاسبه ساده نشان می دهد [۹]. همان طور که در شکل دیده می شود  $M_5$ ، که فقط از مدار  $1d_{5/2}$  می تواند حاصل شود (به دلیل جمع گشتاورها و قطبیت چند قطبی)، در تکانه های انتقالی بالا قوی می شود. بنابراین، با مقایسه این چند قطبی با یک محاسبه نظری می توان به درجه اشغال این مدار دست یافت. در این شکل، محاسبه ساده ای که  $100\%$  مدار را فرض کرده است تقریباً برای توضیح نتیجه آزمایش کافی است. از این آزمایش و همچنین آزمایش های دیگر در این زمینه درجه اشغال این مدار تقریباً  $90\%$  برآورده

نوکلئونهاست و همین مسئله انجام محاسبه دقیق را برای این مقایسه کمی مشکل می کند. پس بهتر است مقایسه را در دو هسته دیگر انجام بدھیم. این دو هسته می توانند  $^{100}Pb$  و  $^{100}Hg$  باشند. ولی برای تنوع بگذارید این بار این مقایسه را در  $^{32}S$  و  $^{32}Si$ ، که تفاوت آنها در تصویر ساده مدل لایه ای فقط دو پروتون در مدار  $2S_{1/2}$  است انجام دهیم. مدار  $2S_{1/2}$  در این تصویر در  $^{32}Si$  کاملاً خالی و در  $^{32}S$  کاملاً پر است. شکل ۱۲ به جای تفرقی دو چگالی بار، ضریب فرم حاصل از این دو هسته را که در واقع تبدیل فوریه چگالی بار است بر هم تقسیم می کند [۸]. اگر چگالی مدار  $2S_{1/2}$  را هم در فضای ۴D کنیم تقریباً یک چنین شکلی به دست خواهد آمد. دلیل اختلاف بین این محاسبه ساده با نتیجه آزمایش، همان طور که قبل از گفته شد، پرشدن مدارهای بالای سطح فرمی است. برای روشن شدن این مسئله در محاسبه انجام شده که در شکل دیده می شود به جای پر کردن مدارها بر طبق تصویر ساده، درجه پرشدن مدارهای نزدیک به سطح فرمی برآش شده است.

برای  $^{32}Si$  به جای ۶ پروتون در مدار  $1d_{5/2}$  ،  $1d_{5/2}$  پروتون در این مدار،  $35\%$  پروتون در مدار  $2S_{1/2}$  و  $15\%$  پروتون در مدار  $1d_{3/2}$  قرار گرفته است. دو مدار آخر در واقع بالای سطح فرمی هستند. برای  $^{32}S$  به جای ۶ پروتون در مدار  $1d_{5/2}$  و ۲ پروتون



شکل ۱۲. نسبت ضریب فرم های  $^{32}S$  و  $^{32}Si$

NIKHEF در هلند، MAMI در آلمان به منظور مطالعه ساختمان هسته و ساز و کار واکنش دنبال شدند. در NIKHEF چون دو طیف سنج مغناطیسی با قدرت تفکیک بسیار بالا مورد استفاده قرار گرفت، بهترین نتایج مطالعات ساختاری حاصل شد. برای مثال، شکل ۱۴ یک طیف از انرژی برانگیختگی در هسته  $B^1$  را نشان می‌دهد. در این شکل تابع طیفی ( $S(E_m, P_m)$ ) نشان داده شده است. این تابع در تقریبی که در آن فوتون با یک پروتون «شباه آزاد» در هسته واکنش می‌کند و تابع موج پروتون پرتاپ شده امواج تخت است با رابطه زیر به مقطع مؤثر وابسته است:

$$\frac{d\sigma}{d\Omega_p d\Omega_e d\omega dE_m} = K \sigma_{ep} S(E_m, P_m) \quad (11)$$

که در آن  $K$  ضریب سینماتیک و  $\sigma_{ep}$  مقطع مؤثر فرایند برخورد الکترون با پروتونی است که در داخل هسته قرار دارد. این مقطع موثر با تقریبهای خاص محاسبه می‌شود [۱۱]. تابع طیفی، تابعی است که فقدان انرژی و فقدان تکانه. در تصویر مدل لایه‌ای بسیار ساده که در آن لایه‌ها به ترتیب پر می‌شوند، فرمول تابع طیفی عبارت است از:

$$S(E_m, \vec{P}_m) = \sum_{nlj} S_{nlj}(E_m) \rho_{nlj}(\vec{p}_m) \quad (12)$$

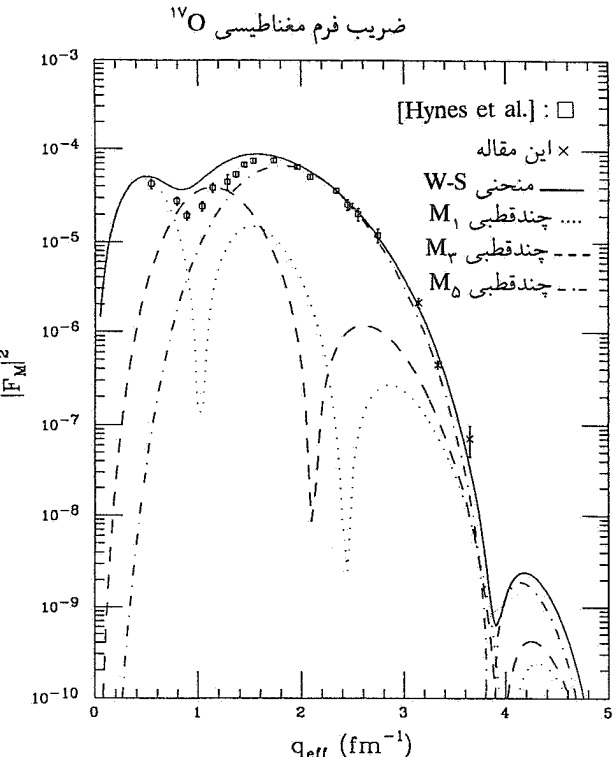
که در آن  $S_{nlj}(E_m)$  عامل طیفی مؤلفه با اعداد کواتنومی  $j_1$  و  $n$  در انرژی  $E_m$ ، یا به بیان دیگر احتمال پیدا کردن یک پروتون با اعداد کواتنومی  $j_1$  و  $n$  و با انرژی پیوندی  $E_m$ ، و  $\rho_{nlj}(\vec{P}_m)$  توزیع چگالی تکانه برای یک پروتون با اعداد کواتنومی  $j_1$  و  $n$  و یا احتمال پیدا کردن یک پروتون با اعداد کواتنومی  $j_1$  و  $n$  با تکانه  $\vec{P}_m$  در هسته است. در تصویر ساده‌ما ( $\vec{P}_m$ ) در واقع مربع تابع موج پروتون پیوندی در فضای تکانه است. به عبارت دیگر:

$$S(E_m, \vec{P}_m) = \sum_{nlj} \left| \phi_{nlj}(\vec{p}_m) \right|^2 \delta(E_m - E_{nlj}) \quad (13)$$

خیلی منطقی است که اگر تابع طیفی پروتونهای همه لایه‌ها را جمع کنیم تعداد کل پروتونها به دست آید:

می‌شود. در تکانه‌های متوسط، جایی که  $M_2$  قوی است مشکل کمی پیچیده‌تر است. به دلیل طولانی بودن بحث وارد این مبحث نمی‌شویم. خواننده علاقه‌مند به ساختار مغناطیسی هسته می‌تواند برای مطالعه یک مقاله نسبتاً جامع به مرجع [۱۰] رجوع کند.

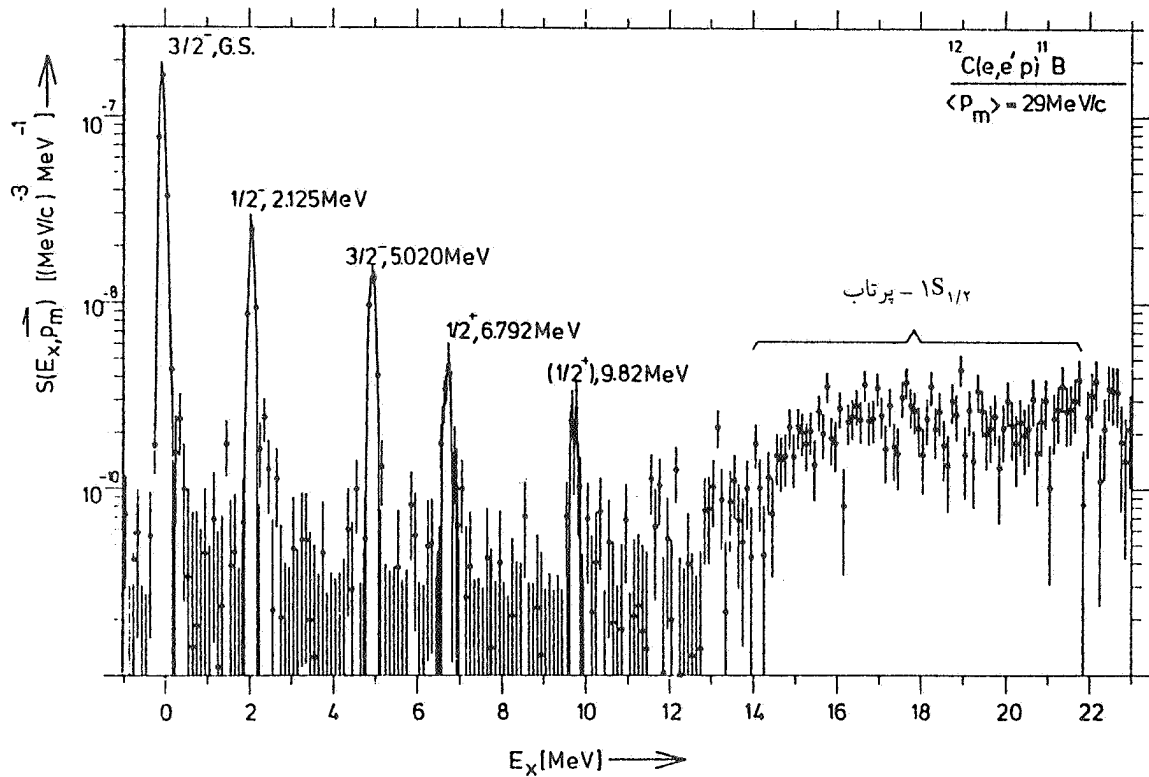
برای روشن شدن این مسئله که کدام مدارها که بالای سطح فرمی قرار دارند اشغال می‌شوند می‌توان آزمایشی انجام داد که در آن به طور مشخص پروتون یا نوترон مورد بحث از مدار خود به بیرون پرتاپ و بدین وسیله به طور مستقیم اشغال مدارها مشاهده می‌شود. چون ردیابی نوترون راندمان آزمایشی بسیار پایینی دارد، اهم این آزمایشها با ردیابی پروتون انجام گرفته و می‌گیرند.



شکل ۱۳. مربع ضریب فرم مغناطیسی هسته  $O^{17}$ ، مربع چندقطبیهای Woods-Saxon که با پتانسیل  $M_1$  و  $M_5$  حساب شده‌اند نیز دیده می‌شود. حاصل جمع این چندقطبیها (منحنی پر) باید با نتیجه آزمایش مقایسه شود.

#### ۴-۲-۲- واکنش $(e, e' p)$

این نوع آزمایشها از اوایل دهه ۸۰ به طور جدی در آزمایشگاه‌های مختلف، همچون آزمایشگاه SACLAY در فرانسه، FRASCATI در ایتالیا، MIT-Bates در آمریکا،



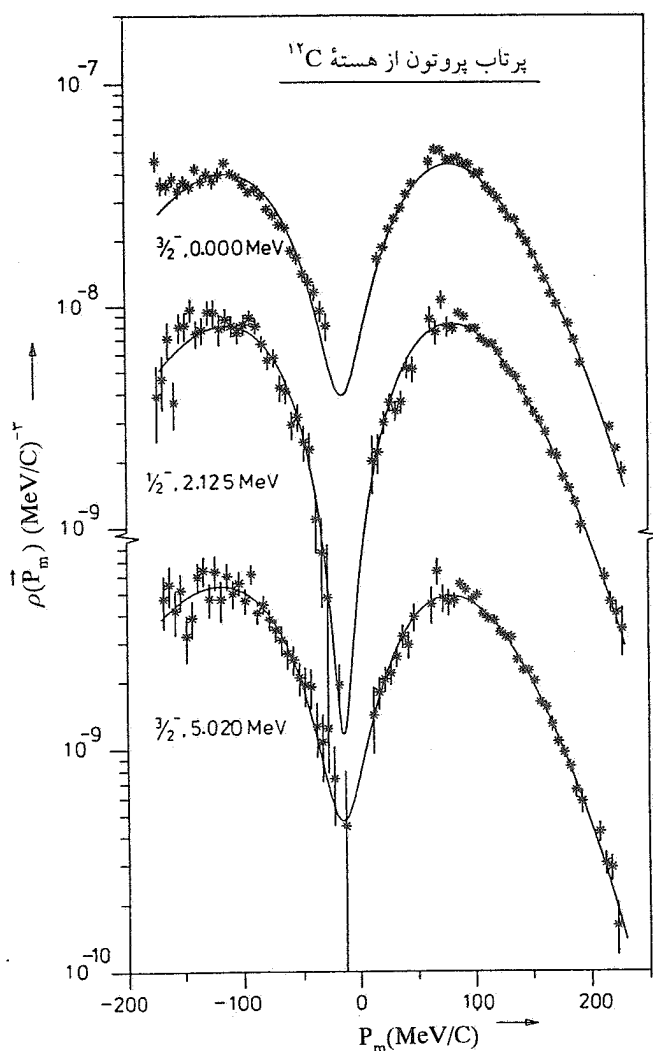
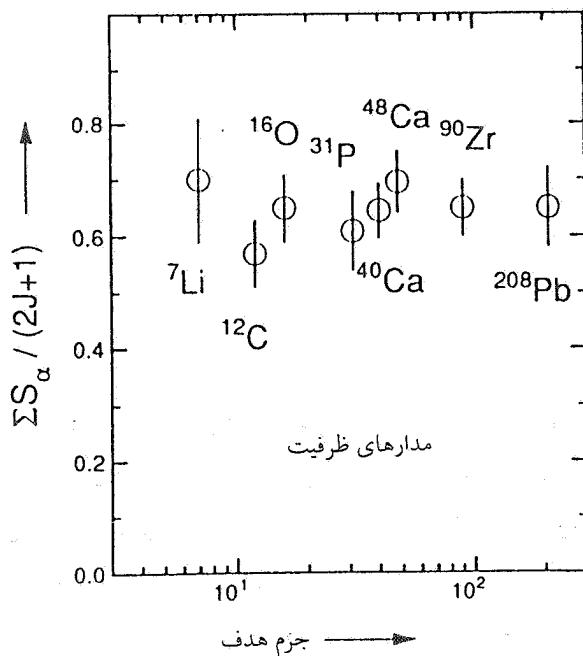
شکل ۱۴. یک نمونه از طیف انرژی برانگیختگی در هسته  $B^{11}$  حاصل واکنش  $B^{11}(e, e' p)$ . اندازه نبود تکانه در اینجا  $29 \text{ MeV}/c$  است.

$$\begin{aligned}
 \int S(E_m, \vec{P}_m) dE_m d\vec{p}_m &= \int \sum_{nlj} S_{nlj}(E_m) \rho_{nlj}(\vec{P}_m) dE_m d\vec{p}_m \\
 &= \int \sum_{nlj} \left| \phi_{nlj}(\vec{p}_m) \right|^2 \delta(E_m - E_{nlj}) dE_m d\vec{p}_m \\
 &= \sum_{nlj} \int \left| \phi_{nlj}(\vec{p}_m) \right|^2 d\vec{p}_m = \sum_{nlj} N_{nlj} \\
 &= Z
 \end{aligned} \tag{۱۴}$$

(۱۱) آمده است مجدداً امکانپذیر خواهد بود ولی این بار به جای  $S(E_m, \vec{P}_m)$  از  $S^D(E_m, \vec{P}_m)$  استفاده خواهد شد. در محاسبه  $S^D(E_m, \vec{P}_m)$  تابع موج واقعی پروتون (با تمام اختلالات حاصل از برهم‌کنش نهایی) به کار خواهد رفت (فرمولهای (۱۲) و (۱۳) را ببینید). با این تعاریف و برای روشن شدن تصویر باید خاطرنشان کرد که هسته  $C^{12}$  در مدل ساده لایه‌ای دارای ۲ پروتون در مدار  $1S_{1/2}$  و ۴ پروتون در مدار  $1P_{1/2}$  است. بنابراین، اگر یک پروتون توسط الکترون به بیرون پرتاب شود، با احتمال بیشتر آن پروتونی خواهد بود که کمترین انرژی پیوندی را دارد، یعنی پروتونی در مدار  $1P_{1/2}$ . با پرتاب این پروتون به بیرون، دختر - هسته کمترین انرژی را خواهد داشت (تراز زمینه). حال اگر پروتون در  $C^{12}$  در مدار  $1P_{1/2}$

$N_{nlj}$  درواقع درجه اشغال مدارهای مختلف با اعداد کواتنومی  $j$  و  $n$  است.

چون پروتون پس از پرتاب شدن به خارج از هسته، همچنان با هسته برهم‌کنش خواهد داشت (برهم‌کنش حالت نهایی) طبیعی است که تابع موج پروتون دیگر امواج صفحه‌ای نخواهد بود و تجزیه مقطع مؤثر به عاملهای مختلف، آن‌طور که در فرمول (۱۱) آمده است غیرممکن است. برای محاسبه برهم‌کنش حالت نهایی معمولاً از پتانسیل اپتیکی استفاده می‌شود که، علاوه بر مؤلفه حقیقی دارای مؤلفه مجازی نیز هست. اگر از جمله اسپین - گشتاور مداری در این پتانسیل صرفنظر کنیم و فرض کنیم که جریان هسته‌ای وابسته به تکانه پروتون نیست، جدایی مقطع مؤثر به شکلی که در فرمول

شکل ۱۵. توزیع تکانه برای پرتاب پروتون از مدار ۱f در هسته  $^{12}\text{C}$ 

شکل ۱۶. ضریب طیفی برای مدارهای ظرفیت در هسته‌های مختلف.

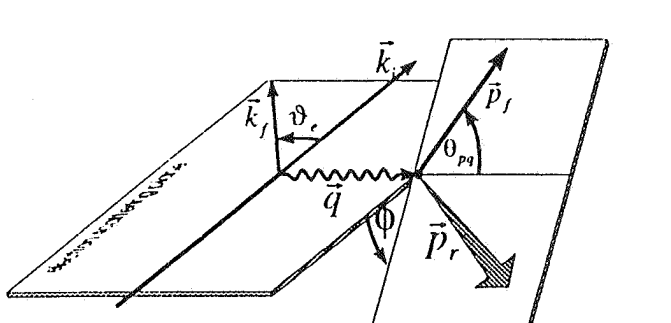
(تراز بالای سطح فرمی) قرار گرفته باشد و توسط الکترون به بیرون پرتاب شود، دختر - هسته نیز همان اسپین را خواهد داشت، یعنی  $\frac{1}{2}$ . ولی  $\frac{1}{2}$  اسپین اولین تراز برانگیخته در  $^{11}\text{B}$  است زیرا پروتون از مدار  $P_{3/2}$  به مدار  $P_{1/2}$  ارتقا یافته است. به همین ترتیب می‌توان مبدأ پروتونهای پرتاب شده را در هسته مادر ردیابی کرد. نکته‌ای که لازم است در مرور پاریته ذکر شود این است که پاریته ترازهای مربوط به  $P$  منفی و پاریته ترازهای مربوط به  $S$  مثبت است. به دلیل بالابودن چگالی تراز در مدارهای عمیق، معمولاً پهنهای این ترازها زیاد می‌شود. به گونه‌ای که دیگر قابل تفکیک نیستند. به همین دلیل، بعد از  $14\text{ MeV}$  طیف حاصل عمدتاً به پرتاب از مدار  $1S_{1/2}$  اختصاص یافته است. نکته دیگری که در این شکل قابل ذکر است مقدار  $P_m$  است. این طیف در  $\langle P_m \rangle = 29\text{ MeV}/c$  تراز نشان می‌دهد [۱۲]. چون این نوع آزمایشها به اسپین حساسیتی ندارند تفاوتی نیز بین توزیع تکانه برای ترازهای  $\frac{3}{2}$  و  $\frac{1}{2}$  دیده نمی‌شود. منحنیهای مربوط نیز نتیجه محاسبات پیچیده‌ای هستند که در آنها پروتون پس از پرتاب شدن همچنان با دختر - هسته واکنش می‌کند. تنها متغیر در این محاسبات ضریبی است که در توزیع تکانه محاسبه نشده ضرب می‌شود تا آن را به نتایج تجربی برساند. این ضریب در واقع مربوط به درجه اشغال مدار مورد بحث است. بدین وسیله درجه اشغال بسیاری از مدارهای نزدیک به سطح فرمی در تعداد زیادی هسته مطالعه شده است. شکل ۱۶ در واقع خلاصه‌ای است از مطالعات چند ساله اخیر [۱۳]. در این شکل ضریب طیفی که وابسته به درجه اشغال مدار است برای هسته‌های مختلف رسم شده است. در تصویر ساده نظریه لایه‌ای، این ضریب باید ۱ باشد. برای پیدا کردن این ضریب، طیف انرژی برانگیختگی برای مدار مربوط تا انرژی برابر  $20\text{ MeV}$  تحلیل

## ۵- سازوکار واکنش

برای جدا کردن مؤلفه های مختلف یک واکنش می توانیم از یکی از خاصیت های پراکندگی با الکترون که در بخش دوم به آن اشاره شده استفاده کنیم. الکترون در فرایند پراکندگی، با تابش یک فوتون مجازی با هسته برهم کنش می کند. مجازی بودن این فوتون به این معنی است که قطبش عرضی نیز دارد. چون در محاسبات مقطع مؤثر مؤلفه های جریان های هسته ای با یکدیگر تداخل می کنند، مقطع مؤثر واکنش ( $e, e' p$ ) در تقریب «تبادل یک فوتون» به شکل زیر بیان می شود [۱۴]:

شده است. این بدان معنی است که اگر این مدار مؤلفه هایی در انرژی های بالاتر داشته باشد آنها نیز باید به این ضریب اضافه شوند که آن را به ۱ نزدیکتر کنند. یکی از مشکلات، محدود بودن گستره  $E_m$  به دلیل محدودیت های دستگاه ها و محدودیت زمانی در انجام آزمایش است. برای روشن شدن این مسئله که چرا این ضریب ۱ نیست و این که چه بلایی بر سر «مقطع مؤثر گمشده» می آید لازم است که نگاهی به سازوکار واکنش بشود.

$$\frac{d^5 \sigma}{d\Omega_p d\Omega_e d\omega dE_m} = \sigma_{\text{mott}} \left[ V_L R_L + V_T R_T + V_{LT} R_{LT} \cos \phi + V_{TT} R_{TT} \cos 2\phi \right] \quad (15)$$



شکل ۱۷. نموداری از پراکندگی الکترون که در آن پروتون نیز ردیابی شده است. متغیرهای سینماتیک در این شکل نمایش داده شده اند.

پ - ۱۰ و پ - ۱۱ در پیوست الف). با این تعاریف، می توان تمام توابع ساختاری را به شکل زیر نوشت (توجه کنید که هامیلتونی برهم کنش الکترو مغناطیسی ( $eA^\mu J_\mu(X)$  -- است که در آن  $(X) A^\mu$  میدان الکترو مغناطیسی تولید شده توسط الکترون و  $J_\mu$  جریان هسته ای است):

$$R_L = |\rho|^2 \quad (17)$$

$$R_T = |J^+|^2 + |J^-|^2 \quad (18)$$

$$R_{LT} = -2Rc \{ \rho^* (J^+ - J^-) \} \quad (19)$$

$$R_{TT} = 2Re \{ (J^+)^* J^- \} \quad (20)$$

علاوه بر این،  $(R_{TT}) R_{LT}$  یک ضریب متناسب با  $\sin \theta_{pq}^{CM}$  دارد که در آن  $\theta_{pq}^{CM}$  زاویه بین پروتون و  $\vec{q}$  در

در این فرمول، که در واقع بسط فرمول (۹) برای یک واکنش پیچیده تر است. مقطع مؤثر تابعی است از زاویه فضایی پروتون و الکترون پرتاب شده، انرژی انتقالی به هسته، و فقدان انرژی (متغیرهای دیگر نیز با یک انتقال ژاکوبی قابل قبول اند). به جای ضریب فرم که در فرمول (۹) آمده بود، در این واکنش بیشتر از «تابع ساختار» و یا «تابع پاسخ»  $R$  که تابعی از  $q_\mu$  و  $P_f$  است، استفاده می شود.  $\phi$  زاویه بین صفحه پراکندگی با صفحه ای است که  $\vec{q}$  و  $\vec{p}_f$  در آن قرار دارند (شکل ۱۷). چهار ضریب سینماتیک در فرمول ۱۵ به صورت زیرند.

$$\begin{aligned} V_L &= \left( \frac{q_\mu}{\vec{q} \cdot \vec{v}} \right)^2 \\ V_T &= -\frac{1}{2} \left( \frac{q_\mu}{\vec{q} \cdot \vec{v}} \right) + \tan^2 \theta / 2 \\ V_{LT} &= \frac{1}{\sqrt{2}} \left( \frac{q_\mu}{\vec{q} \cdot \vec{v}} \right) \sqrt{\left( -\frac{q_\mu}{\vec{q} \cdot \vec{v}} \right) + \tan^2 \theta / 2} \\ V_{TT} &= \frac{1}{2} \left( \frac{q_\mu}{\vec{q} \cdot \vec{v}} \right) \end{aligned} \quad (16)$$

اگر جریان هسته ای چهار مؤلفه ای را با  $(\bar{J}, \rho) = J_\mu$  نشان بدھیم که در آن  $\rho$  چگالی بار الکتریکی و  $\bar{J}$  چگالی جریان هسته ای است و برای محاسبات مختصات دایره را به کار ببریم که در آن  $\bar{J}$  دارای سه مؤلفه  $J_z$ ,  $J_+$  و  $J_-$  است، می توان به کمک قانون پایستگی جریان نشان داد که  $\rho$  و  $J_z$  متناسب با یکدیگرند و بنابراین سه مؤلفه از چهار مؤلفه باقی می مانند. (فرمولهای

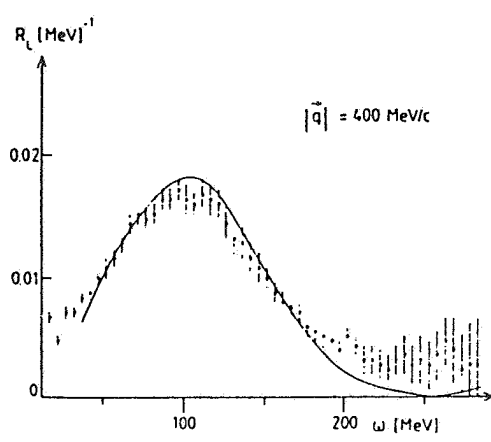
شروع قله  $\Delta$  فقط در  $R_T$  دیده می‌شود که این هم معقول است، زیرا  $\Delta$  در وجه غالب چرخش اسپین یکی از کوارکهای درون نوکلئون است. بنابراین، فرایند عمدتاً با قطبش عرض انجام می‌گیرد.

یکی از نقاط گرهی در این بخش از فیزیک، فاصله بین این دو قله است که در تصویر ساده پرتاب نوکلئون از هسته و یا برانگیختن  $\Delta$ ، باید خالی باشد و فقط دنباله‌های دو قله هستند که این فاصله را پر می‌کنند. نتیجه آزمایشها روی هسته‌های گوناگون در این ناحیه همیشه بزرگتر از پیش‌بینی نظریه‌های مختلف بوده است. شکل ۱۸ نشان می‌دهد که علاوه بر طبیعت فرایندی که این منطقه را پرتر از آنچیزی می‌کند که نظریه‌ها حساب می‌کنند، این فرایند باید عمدتاً «عرضی» باشد. در این شکل علاوه بر نتایج آزمایشها، چند منحنی نیز نشان داده شده است. منحنی « نقطه - خط فاصله » براساس تصویر پراکندگی « شبه آزاد »، « نقطه - نقطه » براساس تصویر پرتاب « شبه دوترون » از هسته (یعنی فوتون خود را به یک دوترون درون هسته وصل می‌کند) و « خط فاصله » براساس تولید پیون پس از واپاشی  $\Delta$  است. برای اطلاع بیشتر از این محاسبه به [۱۷] مراجعه کنید. با این نظریه  $R_L$  نسبتاً خوب توضیح داده شده است، ولی  $R_T$  حتی در قله هم بالاتر از مقدار نظری است. در فاصله دره بین دو قله، تصویر « شبه آزاد » بین ۲۰ تا ۳۰ درصد نتایج تجربی است و اضافه کردن تشدید  $\Delta$  و حتی یک سازوکار دیگر مثل اتصال فوتون مجازی به دوترون نیز محاسبات را به نتایج آزمایشها نمی‌رساند.

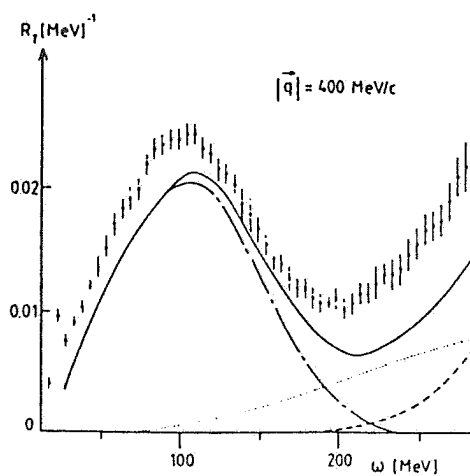
سیستم مرکز ثقل پروتون پرتاب شده و دختر - هسته است [۱۵]. بنابراین، برای کم کردن تعداد نامعلومها می‌توان در آزمایش، زاویه‌های ردیابی را طوری تنظیم کرد که در آن  $R_{TT}$  و  $R_{LT}$  صفر باشند. این سینماتیک را اصطلاحاً سینماتیک موازی می‌نامند ( $\theta_{pq}^{CM} = 0$ ). لازم به ذکر است که در واکنش (e,e') فقط دو جمله اول  $R_L$  و  $R_T$  وجود دارند. بنابراین، چه در واکنش (e,e') (به بخش ۱-۴ مراجعه کنید) و چه در واکنش (e,e'p) می‌توان با انتخاب صحیح پارامترهای آزمایش یعنی

$V_{TT}$ ،  $V_{LT}$ ،  $V_T$ ،  $V_L$  و  $\phi$ ، تمام ساختارها را مطالعه کرد.

شکل ۱۸ نتایج یک آزمایش (e,e') روی C<sup>12</sup> که در آن  $R_L$  و  $R_T$  از یکدیگر جدا شده‌اند را نشان می‌دهد [۱۶] قبل از بررسی این شکل بهتر است به شکل ۴ مراجعه شود که در آن مقطع مؤثر (که در واقع، غیر از ضربهای سینماتیک)، جمع این دو تابع ساختاری است) به طور طرح‌وار برای یک هسته رسم شده است. وقتی  $\omega$  و  $\frac{q\mu}{2M_N}$  نزدیک می‌شود یک قله به وجود می‌آید که در تصویر ساده پرتاب یک « نوکلئون آزاد » را نشان می‌دهد. بعد از  $m_\pi$  نیز کانال تولید  $\Delta$  باز می‌شود و طبیعتاً یک قله دیگر پس از آن به چشم می‌خورد. شکل ۱۸، یک چنین مقطع مؤثری را پس از تبدیل به مؤلفه‌های آن نشان می‌دهد. پروتون، به طور مثال، به دلیل داشتن بار الکترونیکی و اسپین، هم به فوتون با قطبش طولی پاسخ می‌دهد و هم به فوتون با قطبش عرضی. پس طبیعی است که قله حاصل از پرتاب نوکلئون از هسته دارای هر دو مؤلفه باشد. هر چند که گستره  $w$  در این آزمایش برای اندازه‌گیری  $\Delta$  کافی نیست ولی



شکل ۱۸. تابع ساختاری  $R_L$  و  $R_T$  بر حسب  $w$  برای هسته کربن در تکانه انتقالی  $400 \text{ MeV}/c$ .



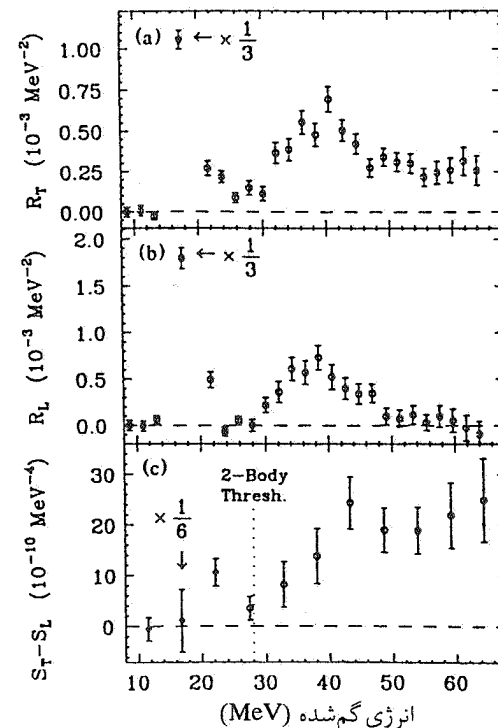
۸۰ کار می‌کردند این راندمان حدود ۱٪ بود. با وجود این، آزمایش‌های متعددی با همین دستگاهها انجام شده است. شکل ۱۹ توابع ساختاری طولی و عرضی را بر حسب فقدان انرژی،  $E_m$ ، برای واکنش  $(e,e'p)$  نشان می‌دهد [۱۸]. این آزمایش که در ناحیه «شبه آزاد» (قله اول در شکل ۴) انجام شده است به خوبی پرتاب پروتون را از لایه P و S در هسته  $^{12}C$  نشان می‌دهد. لایه P که لایه ظرفیتی است قله باریکی دارد و لایه S که در فاصله زیادی از سطح فرمی قرار گرفته است، دارای یک قله پهتر است. این هر دو معقول و منطقی است. آنچه مورد توجه باید باشد این است که نسبت توابع ساختاری طولی به عرضی برای لایه P نیز با محاسبات ساده سازگاری دارد ولی همین نسبت برای لایه S کوچکتر از محاسبات است. این نشان می‌دهد که برای لایه S تابع ساختار عرضی بزرگتر از حد انتظار است. پس در واقع با انجام این آزمایش به این نتیجه رسیده‌ایم که مقدار اضافی تابع ساختار عرضی در شکل ۱۸ در آزمایش ('e,e'p) در واقع ناشی از لایه S است نه لایه P. نتیجه دیگر این آزمایش این است که وقتی این دو ساختار را پس از کاربرد ضربهای لازم برای یکی‌کردن این دو تابع در تصویر ساده (مثلاً  $R_T$ ) متناسب با گشتاور مغناطیسی است در صورتی که  $R_L$  بستگی به بار الکتریکی دارد) از یکدیگر کم می‌کنیم می‌بینیم که فرایندی که عمدهاً عرضی است پس از ۲۷ را  $MeV$  که آستانه پرتاب دو نوکلئون از هسته کربن است به وقوع می‌پیوندد. پس، به احتمال زیاد این فرایند بیشتر از یک نوکلئون را دربر می‌گیرد. این مسئله در آزمایشی دیگر که به منظور مطالعه زیاده قوت بین دو قله «شبه آزاد» و «دلتا» انجام شده است نیز دیده می‌شود. شکل ۲۰ به خوبی نشان می‌دهد که علاوه بر پرتاب یک نوکلئون از لایه P و یا S به خارج از هسته، طیف فقدان انرژی تا انرژیهای بالا (تا جایی که اندازه گیری شده است) همچنان دارای قوت است که فقط دلیل بر شرکت دو یا چند نوکلئون در فرایند پراکنده‌گی می‌تواند باشد [۱۹]. با نگاه مجدد به شکل ۱۸ می‌توان مشاهده کرد که این فرایند باید عرضی باشد زیرا در واکنش ('e,e'p) در این ناحیه تمام مقطع مؤثر از ساختار عرضی حاصل می‌شود.

در انرژیهای انتقالی بالاتر یعنی در صعود به قله  $\Delta$  می‌توان شدت تشدید را از طریق اندازه گیری طیف فقدان انرژی اندازه

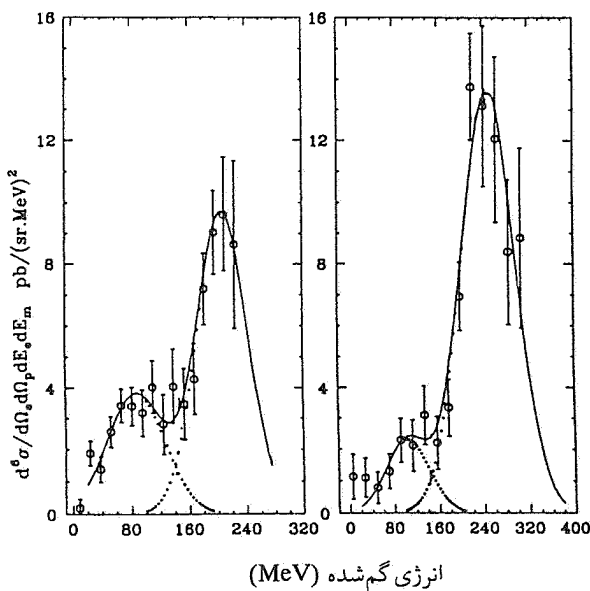
برای روشن شدن این مسئله که واقعاً چه چیزی از هسته به بیرون پرتاب می‌شود می‌توان دست به آزمایش‌هایی پیچیده‌تر از جمله  $(e,e'p)$  و یا  $(e,e'pp)$  زد. این آزمایشها از این لحاظ مشکل‌ترند که با ردیابی هر ذره‌ای که به فرایند اضافه شود احتمال ردیابی ذره‌های اتفاقی بیشتر می‌شود، به خصوص با شتاب دهنده‌های نسل اول که الکترونها را به صورت دسته‌دسته (تبی) شتاب می‌دادند. رابطه زیر برای نسبت علامت به نوفه مشکل را به خوبی نشان می‌دهد:

$$\frac{S}{N} = \frac{R_{ep}}{R_e R_p} \frac{D.F}{\Delta\tau} \quad (21)$$

در اینجا  $R_{ep}$  آهنگ شمارش همزمانی واقعی بین الکترون و پروتون است.  $R_e$  و  $R_p$  آهنگ‌های ردیابی تکی الکترون یا پروتون مستقل از یکدیگر است.  $\Delta\tau$  قدرت تفکیک زمانی دستگاه‌های ردیابی است و بالاخره D.F، یعنی راندمان زمانی شتاب دهنده، درصدی از زمان است که دستگاه در حال شتاب دادن است. برای دستگاه‌های نسل اول که تا اواخر دهه



شکل ۱۹. تابع ساختاری طولی و عرضی در  $^{12}C$  در ناحیه «شبه آزاد» و تفاوت بین «تابع طبیعی» طولی و عرضی بر حسب نبود انرژی. مقدار تکانه تقریباً  $400 MeV/c$  و  $123 MeV$  است.



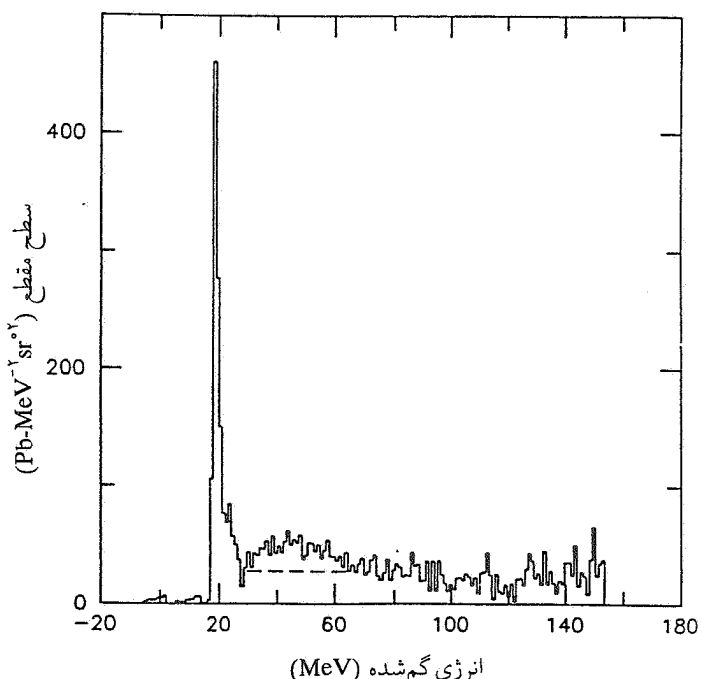
شکل ۲۱. طیف نبود انرژی در ناحیه برانگیختگی نوکلئون (یعنی  $\Delta$ ) در هسته  $C^{12}$ . در اینجا  $E_0 = 460$  MeV،  $E_m = 275$  MeV،  $w = 282$  MeV و  $|q| = 401$  MeV/c،  $E_p = 647$  MeV (شکل سمت چپ)،  $E_n = 473$  MeV/c و  $w = 200$  MeV (شکل سمت راست).

دقت بیشتری اندازه گرفت. یکی از انگیزه‌های اصلی این آزمایشها اندازه گیری همبستگی بین دو نوکلئون در هسته است. از آنجایی که راندمان ردیابی نوترون بسیار پایین است اولین آزمایشها با ردیابی دو پروتون انجام شدند.

### ۱-۵ واکنش $(e, e' pp)$

همان‌طور که در قسمت قبل گفته شد، ردیابی تعداد بیشتر ذرات، به خصوص با شتاب‌دهنده‌هایی که ذرات را به صورت دسته‌ای (تپی) به طرف هدف می‌فرستند، به دلیل همزمانی ذرات اتفاقی با یکدیگر مشکلت‌می‌شود. با وجود این، با دستگاه‌های نسل اول که راندمان زمانی پایینی داشتند (حدود ۰.۱٪) چند آزمایش انجام شده است که در اینجا نتایج یکی از آنها به اختصار مورد بررسی قرار می‌گیرد.

یکی از نتایج به دست آمده در مطالعات سازوکار واکنش با واکنش  $(e, e' p)$  آن بود که بیش از یک ذره در فرایند پراکندگی شرکت می‌کند. یکی از این سازوکارها از دیرباز به نام «جریان تبادل مزونی» (MEC) شناخته شده است. در این فرایند فوتون (یا فوتون مجازی) به عنوان مثال به پیون و یا مزونی که در حال

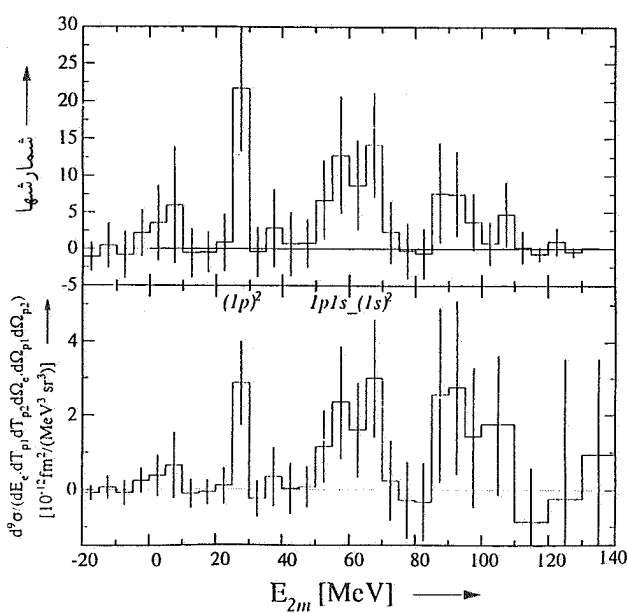


شکل ۲۰. مقطع مؤثر بر حسب نبود انرژی در ناحیه بین دو قله «شبیدآزاد» و «دلتا» در کربن. سطح بالای «خط فاصله» مربوط به پرتاب پروتون از لایه ۱۵ است. در اینجا  $w = 200$  MeV و  $|q| = 400$  MeV/c.

گرفت. شکل ۲۱ نشان دهنده این واقعیت است که وقتی از پایین قله (شکل سمت چپ) به بالای قله (شکل سمت راست) صعود می‌کنیم چطور قدرت طیف پس از آستانه تولید پیون که محصول واپاشی  $\Delta$  است بالا می‌رود [۲۰]. همان‌طور که انتظار می‌رود فرایند پرتاب نوکلئون به بیرون از هسته در این ناحیه بسیار ضعیف شده است (طیفهای اشکال ۱۹، ۲۰ و ۲۱). همان‌طور که در فقدان انرژی پایین با یکدیگر مقایسه کنید، پس آنچه که در فقدان انرژی پاییتر از آستانه تولید پیون قرار دارد باید عمدتاً از فرایندهایی باشد که در آنها بیش از یک نوکلئون شرکت دارند. بخش زیادی از این قوت باید از پرتاب دو نوکلئون به بیرون باشد زیرا در یک آزمایش مشابه که توسط فوتون انجام شده است جفت پروتون و نوترون با هم ردیابی شده‌اند [۲۱]. محاسبات نظری در این زمینه هنوز قادر به توضیح کمی بیشتر این پدیده‌ها نیستند.

این نتایج نیاز به اندازه گیری ذره‌های بیشتر را به وضوح نشان می‌دهند. به همین دلیل نیز آشکارسازهایی با زاویه فضایی بزرگتر طراحی شده‌اند که بتوان به وسیله آنها این فرایندها را که غالباً دارای مقطع مؤثر بسیار پایینی هستند با

در شکل ۲۲ طیف فقدان انرژی بر حسب پرسنی  $E_{\gamma m} = w \cdot T_p - T_p^2$  نشان داده شده است [۲۲]. در این شکل در انرژی حدود ۲۷ MeV یک قله دیده می شود که باید متعلق به پرتاب دو پروتون از لایه  $1p$  باشد (می دانیم که انرژی جذابی دو پروتون از هسته کربن ۲۷ MeV را ۲۷ است). بین ۵۰ تا ۷۵ MeV یک قله دیگر دیده می شود که متعلق به پرتاب یک پروتون از لایه  $1p$  و یک پروتون از لایه  $1s$  است. احتمال پرتاب دو پروتون از لایه  $1s$  نیز در این ناحیه وجود دارد. بین این دو قله، مقطع مؤثری دیده نمی شود و این حاکی از آن است که هر چند فرایند های مانند  $^{12}\text{Be}(e, e'ppn)$  و  $^{12}\text{He}(e, e'ppnn)$  از لحاظ انرژی در این منطقه قرار می گیرند ولی در این سینماتیک خاص این کانالها ضعیف‌اند. نکته قابل توجه دیگر در این شکل وجود مقطع مؤثر در انرژی بالای ۷۰ MeV است که باید متعلق به پرتاب بیش از دو نوکلئون باشد. قدرت تفکیک پایین سیستم ردیابی مورد استفاده در این آزمایش مانع از تفکیک ترازهای نزدیک به هم



شکل ۲۲. طیف نبود انرژی بر حسب  $E_{\gamma m}$  در ناحیه بین دو قله «شبه‌آزاد» و «دلتا» در واکنش  $^{12}\text{C}(e, e'pp)$ .

تصویر بالا تعداد رویدادهای است که در تصویر پایین به مقطع مؤثر تبدیل شده است. هر دو تصویر پس از تفربیق رویدادهای برخورد و تصویر برای راندمان دستگاهها ارائه شده‌اند. تصویر پایین تصویر تابشی الکترون را نیز شامل می شود.

پرواز بین دو نوکلئون است متصل می شود. بنابراین، طبق تعریف، عملگر جریان هسته‌ای باید دو نوکلئون را دربر بگیرد. یکی دیگر از این فرایندها که در بخش‌های دیگر فیزیک نیز شناخته شده است همبستگی است. در این فرایند جریان هسته‌ای فقط می‌تواند یک نوکلئون را دربر گیرد زیرا فوتون (واقعی یا مجازی) می‌تواند فقط به یکی از نوکلئونها متصل می شود. آزمایش مورد بحث عمدتاً به منظور مطالعه این فرایند طراحی شده است (برای یک بحث کوتاه درباره جریان - مزونی و همبستگی به پیوست ۳ رجوع کنید).

برای زیاد کردن احتمال نسبی این فرایند به فرایندهای دیگر،  $w$  طوری انتخاب شد که ناحیه بین دو قله «شبه‌آزاد» و «دلتا» زیر ذره بین گذاشته شود. همان‌طور که قبل اگفته شد این ناحیه را نظریه‌هایی که فقط شامل یک نوکلئون هستند نمی‌توانند توضیح دهند و مقطع مؤثر اندازه‌گیری شده همیشه بزرگتر از اندازه پیش‌بینی شده است. برای مقایسه بهتر با داده‌های قبلی، این آزمایش نیز روی هسته کربن انجام شده است.

در تصویر ساده‌ای که در آن برهم‌کنش نهایی بین ذرات پس از پراکندگی اولیه ناچیز است، دو پروتون وابسته به یکدیگر پس از جدایی با زاویه  $180^\circ$  در سیستم مرکز ثقل دو پروتون و فوتون از یکدیگر دور می‌شوند؛ در آزمایشگاه این زاویه کمتر از  $180^\circ$  خواهد بود. تکانه فوتون پس از اتصال فقط به یکی از دو پروتون منتقل می‌شود. پارامترهای آزمایش عبارت‌اند از  $\theta_p = 53^\circ$ ،  $\theta_e = -27^\circ$ ،  $|q| = 270 \text{ MeV}/c$ ،  $w = 212 \text{ MeV}$  و  $\theta_p = -104^\circ$ . انرژی الکترون پرتاب شده  $475 \text{ MeV}$  در  $\theta_p$  در واقع در سیستم مرکز ثقل، همان زاویه  $180^\circ$  را تشکیل خواهند داد. برای مطالعه توزیع زوایه همبستگی ردیاب، پروتون دوم علاوه بر  $104^\circ$  در زاویه‌های  $-90^\circ$  و  $-118^\circ$  نیز قرار گرفته بود، متنهی از آنجایی که آمار حاصل از آزمایش، به دلیل کوچک بودن مقطع مؤثر بسیار پایین بود، تاییح حاصل از اندازه‌گیری در این سه زاویه با یکدیگر جمع شد. این را نیز اضافه کنیم که چون مقطع مؤثرهای اندازه‌گیری شده بسیار کوچک اند از سیستمهای ردیابی استفاده شد که قدرت تفکیک پایینتر از طیف‌سنجهای مغناطیسی دارند، ولی زاویه‌فضایی آنها نسبتاً بزرگ است.

هدف است، زیاد کرد یا زاویه فضایی آشکارسازها را. چون با شتاب دهنده‌های نسل اول آهنگ شمارش لحظه‌ای در دستگاههای ردیابی در بالاترین حد ممکن بود، هر دو راه حل غیر عملی هستند. برای حفظ نسبت سیگنال به نویه و در همان حال افزایش آهنگ واکنش حقیقی، تنها راه، افزایش راندمان زمانی شتاب دهنده است (فرمول ۲۱). اگر پس از افزایش راندمان زمانی، زاویه فضایی آشکارساز را نیز افزایش بدھیم، نسبت سیگنال به نویه نیز افزایش خواهد یافت. طبیعی است که هم افزایش راندمان زمانی شتاب دهنده و هم افزایش زاویه فضایی آشکارساز، پروژه‌های پرخرجی هستند.

### ۶- نگاهی کوتاه به آینده

باتوجه به نتایج آزمایشهایی که تا حدودی در اینجا مورد بحث قرار گرفته‌اند، جهت آزمایشها در آینده در این بخش از فیزیک روشن است. در درجه اول، ناتوانی شتاب دهنده‌های نسل اول و نیاز به افزایش راندمان زمانی آنها نشان داده شد. همان‌طور که در قبیل دیده شد، نسبت سیگنال به نویه برای آزمایشها (e,e'p) متناسب با راندمان زمانی شتاب دهنده است. امروزه با شتاب دهنده‌هایی که می‌توانند باریکه الکترون به طور پیوسته (یا راندمان زمانی تقریباً ۱۰۰٪) تولید کنند می‌توان طیفهای انرژی با کیفیت بالا را به خصوص برای شرایط سینماتیکی که در آن مقطع موثر بسیار کوچک است به دست آورد.

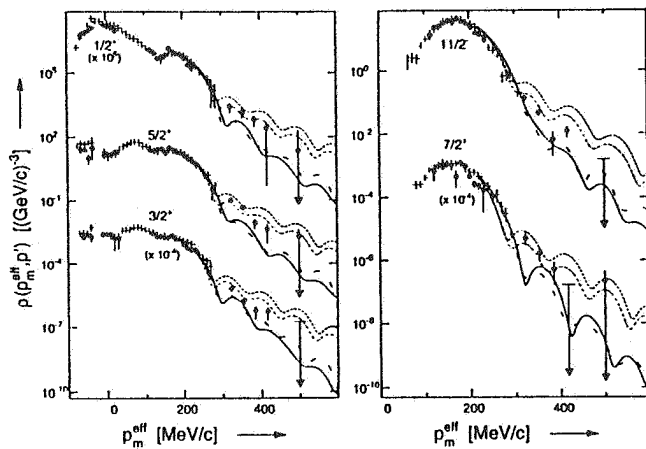
شکل ۲۳ نمونه‌ای از طیف فقدان انرژی برای واکنش (e,e'p) روی هسته  $C^{12}$  است [۲۴]. این شکل تفاوت راندمان بالا و پایین را به بهترین نحو نشان می‌دهد. توجه کنید که در راندمان زمانی بالا، رویدادهای اتفاقی به شدت کاهش یافته‌اند. فقط به کمک یک چنین دستگاههایی است که می‌توان تکانه‌های بالای نوکلئون را در هسته مطالعه کرد. شکل ۲۴ نتیجه جدیدترین آزمایشها را روی هسته سرب در تکانه‌های بالا نشان می‌دهد [۲۵]. در اینجا، توزیع تکانه پروتون در چند تراز مشاهده می‌شود و نتایج تجربی با مدرترین نظریه‌های موجود مقایسه می‌شوند. برای مقایسه، نتیجه آزمایش با راندمان زمانی ۱٪ نیز در شکل آمده است [۲۶]. اولین نتیجه‌ای که از این شکل به دست می‌آید این است که در تکانه‌های بالا، تصویر میدان متوسط نادرست است.

در دختر - هسته یعنی  $Be^{10}$  می‌شود.

نتایج این آزمایش را می‌توان با یک محاسبه نظری که در آن جریانات هسته‌ای یک نوکلئونی و دو نوکلئونی (MEC) به کار رفته است مقایسه کرد. (برای جزئیات این نظریه به مرجع [۲۳] رجوع کنید). اولاً، در فرایند پرتاپ دو پروتون به خارج از هسته، جریانات مزونی (MEC) در پایینترین مرتبه اختلال صفر هستند زیرا دو پروتون در ساده‌ترین تصویر می‌توانند  $\pi^+$  با یکدیگر تبادل کنند که این نیز نمی‌تواند به فوتوون متصل شود، ولی کانال برانگیختن دلتا همچنان وجود دارد. در این سینماتیک به نظر می‌رسد که تقریباً ۹٪ مقطع مؤثر از جریانات هسته‌ای یک نوکلئونی ناشی می‌شود. از این‌رو، پرتاپ دو نوکلئون به خارج فقط می‌تواند از کانال همبستگی دو نوکلئون حاصل شده باشد. چون تکانه‌های اولیه بسیار بالا مورد بحث است (مثلاً در این آزمایش تکانه پروتونها در تراز اولیه چیزی بین ۲۰۰ تا ۵۰۰ MeV/c است)، باید این همبستگی از نوع کوتاه برد باشد. وابستگی پروتونها به یکدیگر در تراز اولیه آنهاست. به همین دلیل نیز همپوشانی تابع موج تراز اولیه هسته با تراز نهایی دختر - هسته را می‌توان به صورت زیر نوشت:

$$\langle \vec{\phi}_{n_1, l_1}(r_1) \vec{\phi}_{n_2, l_2}(r_2) | f(\vec{r}_1 - \vec{r}_2) | \psi_A \rangle \approx \sqrt{s} f(|\vec{r}_1 - \vec{r}_2|) \quad (22)$$

در اینجا  $(|\vec{r}_1 - \vec{r}_2|) f$  تابع همبستگی بین دو پروتون،  $s$  ضریب بهنجارشدن و  $(\vec{r}_1, \vec{r}_2, \phi_{n_1, l_1}, \phi_{n_2, l_2})$  تابع موج دو پروتون در تصویر بسیار ساده مدل لایه‌ای (با پتانسیل میدان متوسط) هستند. انتخاب تابع  $f$  یکی از مشکلات محاسبات نظری است. نتایج محاسبه‌ای که در آن  $f$  از یک محاسبه میکروسکوپی از ماتریس چگالی دو نوکلئون در ماده هسته‌ای به دست آمده است، برای پرتاپ دو پروتون از لایه  $1p$  با آزمایش همخوانی دارد ولی در ناحیه دیگر دقت نظریه بسیار کمتر از دقت آزمایش است. بنابراین، در اینجا نیز نظریه برای توضیح همه مشاهدات باید تکمیلت شود. از طرف دیگر با نگاهی کوتاه به شکل ۲۲ مشاهده می‌شود که آمار نتایج آزمایش نیز کم است. برای افزایش آمار، یا باید «درخشنندگی» را که حاصل ضرب جریان الکترون شتاب دهنده در ضخامت

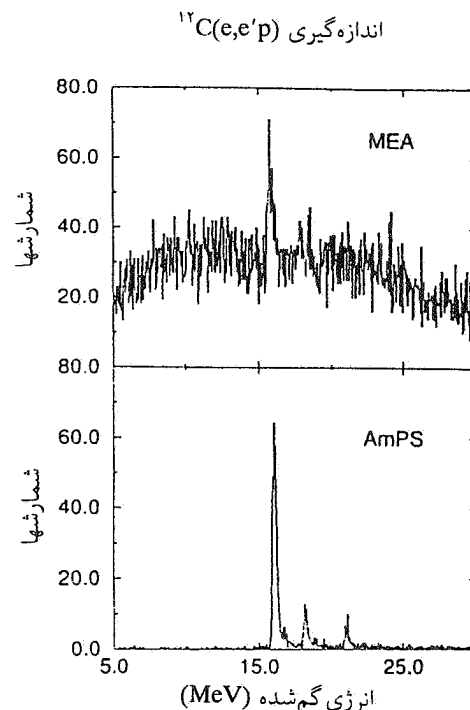


شکل ۲۴. توزیع نبود تکانه برای ترازهای  $\frac{1}{2}^+$ ,  $\frac{3}{2}^+$ ,  $\frac{5}{2}^+$  و  $\frac{7}{2}^+$  در واکنش  $^{208}\text{Pb}(e,e'p)$

این ترازها به ترتیب در انرژی برانگیختگی  $0^+$ ,  $35^+$ ,  $41^+$ ,  $48^+$  و  $47^+$  MeV در دختر هسته هستند. دایره‌های توپر داده‌های جدیدند، در حالی که علامت + داده‌های قدیمی (با راندمان ۱٪) را نشان می‌دهد. خط کامل نتیجه یک محاسبه کامل با میدان متوسط است. منحنی «خط فاصله - دو نقطه» منحنی نظری است که در آن همبستگی کوتاه برد به کار رفته است، در حالی که دو منحنی دیگر نتیجه محاسبات با همبستگی بلند برد هستند.

نوترون تا به امروز با مشکلات آزمایشی روبه‌رو بودند، می‌تواند با شتاب‌دهنده‌های نسل دوم و آشکارسازهای بزرگتر، بهتر مطالعه کرد. چنین آزمایشها ای اخیراً انجام شده‌اند و تجزیه و تحلیل آنها در حال اجراست.

هم‌اکنون آزمایشگاه‌هایی همچون NIKHEF در هلند و MAMI در آلمان و به‌زودی MIT-Bates در آمریکا فعالانه درگیر تدارک و انجام آزمایش‌های متفاوت در این گستره انرژی و با راندمان زمانی بالا هستند. در آینده بسیار نزدیک، آزمایشگاه CEBAF در آمریکا پس از اتمام ساختمان، با انرژی‌های بالاتر (تا حدود  $6\text{ GeV}$ ) و راندمان زمانی بالا، جنبه‌های دیگری از فیزیک هسته‌ای را مورد مطالعه قرار خواهد داد.



شکل ۲۵. طیف نبود انرژی در واکنش  $(e,e'p)^{12}\text{C}$  با راندمان زمانی پایین (تصویر بالا) و راندمان زمانی بالا (تصویر پایین).

نتیجه بعدی آن است که نظریه‌های گوناگون که شامل همبستگی کوتاه برد و دوربرد هستند و یا هیچگونه همبستگی در آنها نیست در تکانه‌های پایین با یکدیگر همخوانی کامل دارند. فقط در تکانه‌های بالا که به تازگی و به کمک راندمان زمانی بالا اندازه گیری شده است می‌توان تفاوت‌های اساسی بین این نظریه‌ها مشاهده کرد. برای ترازهایی که در این آزمایش مشاهده شده‌اند به نظر می‌رسد نظریه‌هایی که همبستگی دوربرد دارند موافق‌ترند. این نوع همبستگی، در واقع این ترازها را به ارتعاشاتی در هسته جفت می‌کند که در سطح هسته فعال‌اند.

نه تنها مطالعات ساختاری با این شتاب‌دهنده‌ها اهمیت جدیدی پیدا کرده‌اند، بلکه اکنون با داشتن راندمان زمانی بالا می‌توان آزمایش‌هایی همچون آزمایش  $(e,e'pp)$  که در بخش قبل بحث شد را با آشکارسازهای بالا می‌توانند خوب کار کنند، هستند و فقط در راندمانهای بالا می‌توانند برای تدقیق انجام داد. نتیجه چنین آزمایشی آمار بسیار بالاتر برای نظریه‌های مختلف در این زمینه است. همین‌طور، واکنش‌هایی مثل  $(e,e'n)$  و یا  $(e,e'pn)$  را که به دلیل راندمان پایین ردیابی

## ۸- پیوستها

پیوست الف: ضرایب فرم و جریانات هسته‌ای

برهم‌کنش الکترون با هسته اتم، غیر از مؤلفه بسیار کوچک برهم‌کنش ضعیف، یک برهم‌کنش الکترومغناطیسی است که با هامیلتونی زیر بیان می‌شود:

$$(پ - الف ۱) \quad \hat{H}_I(x) = -e\hat{J}_\mu(x)A_\mu^{\text{ext}}(x)$$

که در آن  $e$  بار الکتریکی الکترون  $(x)$  میدان الکترومغناطیسی هسته و  $(x)$  عملگر جریان برای الکترونهاست:

$$(پ - الف ۲) \quad \hat{J}_\mu(x) = i\bar{\psi}(x)\gamma_\mu\psi(x)$$

که در آن  $(x)$  میدان فرمی الکترونهاست. نیروی خارجی که توسط توزیع بار و جریان (همرفت و یا مغناطیسی) هسته‌ای به وجود آمده است، از معادلات ماکسول تعیین می‌کند:

$$(پ - الف ۳) \quad A_\mu^{\text{ext}}(x) = -4\pi J_\mu(x) = \left( \nabla^2 - \frac{\partial^2}{\partial t^2} \right)$$

که در آن

$$(پ - الف ۴) \quad J_\mu(x) = \langle f | \hat{J}_\mu(x) | i \rangle$$

$|i\rangle$  و  $|f\rangle$  ترازهای اولیه و نهایی هسته در فرایند پراکندگی هستند و:

$$(پ - الف ۵) \quad \hat{J}_\mu(x) = \left[ \hat{\rho}(x), \vec{J}(x) \right]$$

عملگر چهار مؤلفه‌ای جریان الکترومغناطیسی است. در انجام محاسبات ضرایب فرم می‌توان به جای فضای  $x$ ، از فضای  $q$  (تکانه) استفاده کرد. به عنوان مثال:

$$(پ - الف ۶) \quad J_\mu(q) = \int \exp(-iq \cdot x) \langle f | \hat{J}_\mu(x) | i \rangle d^4x$$

چون  $\langle i |$  و  $| f \rangle$  ترازهایی با انرژی‌های مشخص هستند، می‌توان با استفاده از تصویر هایزنبُرگ به شکل زیر:

$$(پ - الف ۷) \quad \hat{J}_\mu(x) = \exp\left(-i\hat{H}_H t\right) \hat{J}_\mu(x) \exp\left(i\hat{H}_H t\right)$$

که در آن  $\hat{H}_H$  هامیلتونی در تصویر هایزنبُرگ است، مؤلفه

## ۷- خلاصه

بیش از چهل سال از اوایل سری آزمایش‌های با شتاب دهنده‌های الکترونی می‌گذرد. در این مدت، یک گنجینه بسیار غنی از داده‌ها و نظریه‌هایی که برای پیش‌بینی مشاهدات تنظیم شده‌اند به دست آمده است. ساختمان هسته بسیاری از اتمهای موجود در جدول تناوبی در تراز زمینه با دقت بالا مطالعه شده است. در مورد ترازهای برانگیخته نیز شناخت ما عمیقتر شده است. در این چند دهه، بسیاری از نظریه‌های واکنش هسته‌ای محک خورده و فیزیکدانان هسته‌ای را برای انجام آزمایش‌های دیگر یاری کرده است. چگونگی پرشدن لایه‌های هسته‌ای تا حدی درک شده است و کمبودهای پتانسیلهای هسته‌ای مورد استفاده نیز تا حدی شناخته شده‌اند. به کمک آزمایش‌های گوناگونی همچون  $(e,e'p)$ ،  $(e,e'n)$  و  $(pp)$  که در این مقاله مورد بحث قرار گرفته‌اند، سازوکار و اکنش هسته‌ای بهتر از قبل شناخته شده است.

امروزه با در دست داشتن تمام اطلاعات درمورد نیروی هسته‌ای می‌توان بسیاری از خواص ساده‌ترین هسته‌ها را همچون هسته دوتربیوم تا پیچیده‌ترین آنها در طبیعت همچون هسته سرب بازشناخت. ماده هسته‌ای نیز به طور غیر مستقیم در بسیاری از محاسبات مربوط دخالت دارد.

در این مقاله، سعی کردم که با مروری مختصر بر نتایج آزمایشها در این زمینه از فیزیک، خواننده را اندکی با فیزیک هسته‌ای، تا آنچا که به پراکندگی با الکترون در انرژی‌های متوسط مربوط است، آشنا کنم. در این رابطه، بسیاری از بخش‌های فعل و مهم، چه در گذشته و چه در زمان حال، را به دلیل کمبود جا مورد بحث قرار ندادم. به عنوان مثال، درمورد هسته‌های تغییر شکل یافته و ترازهای آنها و زیبایی نظریه‌هایی که آنها را ترسیم می‌کنند، درمورد برانگیختگی‌های تک‌ذره‌ای در  $(e,e')$ ، درمورد «قوایین جمع» جزئیات جریانات مزونی، قطبی بودن ذرات (چه الکترون پرتاب شده، چه هدف و چه ذرات ردیابی شده) و به خصوص درمورد سیستمهای کم ذره صحبتی به میان نیاوردم.

واکنش‌هایی که در آنها ذرات دیگری غیر از الکترون و پروتون ردیابی شده‌اند، مثل  $(e,e'd)$ ،  $(e,e'n)$  و  $(e,e'\alpha)$  و غیره نیز مورد بحث قرار نگرفته‌اند. حتی در زمینه‌هایی که بحث شد بسیاری از آزمایش‌های بسیار زیبا که در آزمایشگاه‌های متفاوت انجام شده‌اند از قلم افتاده‌اند. در پایان این را نیز اضافه کنم که رابطه بین این بخش از فیزیک با بخش‌های دیگر از فیزیک و علوم، همچنین با صنعت را اصلًا بررسی نکردم. این خود می‌تواند موضوع مقاله دیگری باشد.

$$\exp\left(i\vec{q} \cdot \vec{x}\right) = 4\pi \sum_{J \geq 0} \sum_M i^J j_J(qx) Y_J^M(\Omega_x) Y_J^M(\Omega_q)^*$$

(پ - الف ۱۳)

(x) تابع بیسیل از مرتبه  $J$  و  $y_J^M$  هماهنگ کروی است. اکنون ضرایب فرم را می‌توان به صورت مجموع چند قطبیهای متفاوت بیان کرد:

$$|F_L|^2 = \frac{4\pi}{Z^2} \frac{1}{2J_i + 1} \sum_{J \geq 0} \left| \langle J_f | \hat{M}_J^{\text{coul}}(q) | J_i \rangle \right|^2$$

(پ - الف ۱۴)

$$|F_E|^2 = \frac{4\pi}{Z^2} \frac{1}{2J_i + 1} \sum_{J \geq 1} \left| \langle J_f | \hat{T}_J^{\text{el}}(q) | J_i \rangle \right|^2$$

(پ - الف ۱۵)

$$|F_M|^2 = \frac{4\pi}{Z^2} \frac{1}{2J_i + 1} \sum_{J \geq 1} \left| \langle J_f | \hat{T}_J^{\text{mag}}(q) | J_i \rangle \right|^2$$

(پ - الف ۱۶)

در این فرمولها  $J_i$  و  $J_f$  اسپین ترازهای اولیه و نهایی است. عناصر ماتریس در اینجا همه در گشتاور تحويل شده‌اند (زیر) حالتهای مغناطیسی در این فرمولها وجود ندارند). توجه کنید که در اینجا ضریب فرم عرضی حاصل جمع ضریب فرم الکتریکی و ضریب فرم مغناطیسی (پ - الف ۱۴ و پ - الف ۱۵) است.

$$(پ - الف ۱۷) \quad |F_T|^2 = |F_M|^2 + |F_E|^2$$

عملگرهای چندقطبی که برای محاسبه عناصر ماتریس در فرمولهای بالا به کار برده شده‌اند عبارت‌اند از از

$$\hat{M}_{JM}^{\text{coul}}(q) \equiv \int d\vec{x} \left[ M_J^M(q\vec{x}) \hat{\rho}(\vec{x}) \right]$$

(پ - الف ۱۸)

$$\hat{T}_{JM}^{\text{el}}(q) \equiv \int d\vec{x} \left[ \left( \frac{1}{q} \vec{\nabla} \times \vec{M}_{JJ}^M(q\vec{x}) \right) \cdot \hat{J}(\vec{x}) \right]$$

(پ - الف ۱۹)

$$\hat{T}_{JM}^{\text{mag}}(q) \equiv \int d\vec{x} \left[ \vec{M}_{JJ}^M(q\vec{x}) \cdot \hat{J}(\vec{x}) \right]$$

(پ - الف ۲۰)

که در آنها:

$$(پ - الف ۲۱) \quad M_J^M(q\vec{x}) \equiv j_J(qx) Y_J^M(\Omega_x)$$

«زمان» مسئله را از مؤلفه «مکان» جدا کرد:

$$J_\mu(x) = \exp\left[i(E_i - E_f)t\right] \langle f | \hat{J}_\mu(x) | i \rangle$$

(پ - الف ۸)

که در آن  $E_i - E_f = w$ . با قراردادن این معادله در معادله (پ - الف ۶) می‌توان دید که در فضای تکانه نیز  $J$  فقط تابعی از  $\vec{q}$  است.

برای تسهیل محاسبات بهتر است مؤلفه‌های توزیع جریان را در مختصات اسپین فوتون نوشت:

$$(پ - الف ۹) \quad J^0 = J_x$$

$$J^+ = \frac{1}{\sqrt{2}} (J_x + iJ_y)$$

$$J^- = \frac{1}{\sqrt{2}} (J_x - iJ_y)$$

تمام  $J$ ‌ها در این فرمولها عناصر ماتریس بین ترازهای اولیه و ثانویه هستند.

قانون «پایاستگی جریان» که در فضای تکانه به شکل زیر نوشته می‌شود:

$$(پ - الف ۱۰) \quad q_\mu J^\mu(q) = 0$$

یکی از مؤلفه‌های جریان را حذف می‌کند:

$$(پ - الف ۱۱) \quad J_{fi}^0(q) = \frac{w}{q} \rho_{fi}(q)$$

که در آن « $f\bar{i}$ » نشان‌دهنده عنصر ماتریس بین تراز  $|i\rangle$  و  $|f\rangle$  است. بنابراین مؤلفه طولی جریان متناسب با چگالی بار هسته است. با این تعاریف، ضرایب فرم که در فرمول ۹ در متن مقاله آمده‌اند عبارت‌اند از

$$(پ - الف ۱۲) \quad |F_L|^2 = \left| \rho_{fi}(q) \right|^2$$

$$= (q/w)^2 \left| J_{fi}^0(q) \right|^2$$

$$|F_T|^2 = \left| J_{fi}^+(q) \right|^2 + \left| J_{fi}^-(q) \right|^2$$

چون تابشها در فیزیک کلاسیک به دلیل واضح به چند قطبیهای مختلف تقسیم می‌شوند، با به کار بردن فرمول زیر در معادله (پ - الف ۶) می‌توان همین تقسیم‌بندی را انجام داد:

: [۲۷]

$$\vec{y}_{J_L}^M(\Omega_X) = \left[ Y_L(\Omega_x) \otimes \vec{e}(q; 1) \right]_J^M \quad (\text{پ - الف } ۲۳)$$

$$\vec{M}_{JL}^M(q\vec{x}) \equiv j_L(qx) \vec{y}_{J_L}^M(\Omega_X) \quad (\text{پ - الف } ۲۲)$$

که در آن  $(1; q; \vec{e})$  بردار واحدی است که گشتاور ۱ دارد. عملی که در (پ - الف ۲۲) انجام می‌گیرد به طریق زیر تعریف شده است:

$(\Omega_x)_{J_L}^M \vec{y}$  همانگی کروی برداری است که در سیستم مختصات ما از رابطه زیر به دست می‌آید.

$$\left[ A_{J_1} \otimes B_{J_2} \right]_J^M \equiv \sum_{M_1 M_2} \langle J_1 M_1 J_2 M_2 | (J_1 J_2) JM \rangle A_{J_1}^{M_1} B_{J_2}^{M_2} \quad (\text{پ - الف } ۲۴)$$

که در آن  $\langle J_1 M_1 J_2 M_2 | (J_1 J_2) JM \rangle$  ضرب «کلبش - گوردن» است. برای آن که رابطه عملگرهای  $\hat{T}^{\text{el}}$  و  $\hat{T}^{\text{mag}}$  با جریانهای هسته‌ای مشخصتر شود، بگذارید یک قدم فراتر رویم. ابتدا

$$\hat{J}_m(\vec{x}) = \vec{\nabla} \times \hat{\mu}(\vec{x}) \quad (\text{پ - الف } ۲۶)$$

عملگر جریان هسته‌ای  $\hat{J}(\vec{x})$  را به دو مؤلفه آن یعنی عملگر جریان همرفت و عملگر جریان مغناطیسی تقسیم می‌کنیم.

$$\hat{J}(\vec{x}) = \hat{J}_c(\vec{x}) + \hat{J}_m(\vec{x}) \quad (\text{پ - الف } ۲۵)$$

با این تعاریف در فرمولهای (پ - الف ۱۹) و (پ - الف ۲۰) نتایج زیر به دست می‌آید:

$$\hat{T}_{JM}^{\text{el}}(q) \equiv \int d\vec{x} \left[ \left( \frac{1}{q} \vec{\nabla} \times \vec{M}_{JJ}^M(q\vec{x}) \right) \cdot \hat{J}_c(\vec{x}) + q \vec{M}_{JJ}^M(q\vec{x}) \cdot \hat{\mu}(\vec{x}) \right] \quad (\text{پ - الف } ۲۷)$$

$$\hat{T}_{JM}^{\text{mag}}(q) \equiv \int d\vec{x} \left[ \vec{M}_{JJ}^M(q\vec{x}) \cdot \hat{J}_c(\vec{x}) + q \left( \frac{1}{q} \vec{\nabla} \times \vec{M}_{JJ}^M(q\vec{x}) \right) \cdot \hat{\mu}(\vec{x}) \right] \quad (\text{پ - الف } ۲۸)$$

توجه کنید که در حالت کلی هر دو چند قطبی الکتریکی و مغناطیسی حاوی جریانهای همرفت و مغناطیسی هستند.

باتوجه به تعاریف بالا از عملگرهای چندقطبی، پاریته این عملگرها نیز مشخص است:

پاریته عملگر کولن،  $(-1)^J$  است

پاریته عملگر الکتریکی،  $(-1)^J$  است

پاریته عملگر مغناطیسی،  $(-1)^{J+1}$  است

برای مثال، در واکنش کشسان که در آن  $|f\rangle = |i\rangle$  است، فقط چند قطبیهای زوج کولن و الکتریکی و چندقطبیهای فرومغناطیسی دخالت دارند. ولی ناوردای برگشت زمان، فقط به چند قطبی زوج کولن و چندقطبی فرمالکتریکی و مغناطیسی اجازه شرکت در برهمکنش می‌دهد. بنابراین اگر پراکندگی کشسان از هسته‌ای با اسپین  $J$  باشد می‌توان به چند

قطبیهای زیر دست یافت:

$$\begin{aligned} CJ \quad J = 0, 2, 4, \dots & \quad \text{عدد درست} \quad J_0 = 2J_+, \quad J_+ = 0, 2, 4, \dots \\ & \quad \text{عدد درست} \times \frac{1}{2} \\ EJ \quad J = 0 & \quad \text{همه } J \text{ ها} \end{aligned}$$

$$\begin{aligned} MJ \quad J = 1, 3, 5, \dots & \quad \text{عدد درست} \quad J_0 = \frac{1}{2} \\ & \quad \text{عدد درست} \times \frac{1}{2} \\ & \quad \text{عدد درست} \quad J_0 = 2J_+ - 1, \quad J_+ = 1, 3, 5, \dots \end{aligned}$$

فرمول کامل سطح مقطع موثر برای پراکندگی کشسان از یک هسته با اسپین  $J$  به صورت زیر است:

$$\frac{d\sigma}{d\Omega} = Z^2 \sigma_{\text{mott}} n \left\{ \frac{q\mu}{|\vec{q}|} \frac{4\pi}{Z^2} \frac{1}{2J_+ + 1} \sum_{\substack{J \geq 1 \\ \text{زوج}}} \left| \langle J_+ | \hat{M}_J^{\text{coul}}(q) | J_+ \rangle \right|^2 \right. \\ \left. + \left[ -\frac{1}{2} \left( \frac{q\mu}{|\vec{q}|} \right)^2 + \tan^2 \left( \frac{\theta}{2} \right) \right] \frac{4\pi}{Z^2} \frac{1}{2J_+ + 1} \sum_{\substack{J \geq 1 \\ \text{فرد}}} \left| \langle J_+ | \hat{T}_J^{\text{mag}}(q) | J_+ \rangle \right|^2 \right\} \quad (\text{پ - الف } ۲۹)$$

عملگر چگالی بار، چگالی جریان همرفت و مغناطیسی را به شکل ساده‌زیر نوشت

اگر عملگرهای مورد بحث همه عملگرهای یک نوکلئونی باشند (تاکنون بحث ما حالت کلی داشته است)، می‌توان

$$\rho(\vec{x}) = \sum_{i=1}^A \frac{1}{2} (1 + \tau_\alpha(i)) \delta(\vec{x} - \vec{x}_i) \quad (\text{پ - الف } ۳۰)$$

$$\vec{J}_\alpha(\vec{x}) = \sum_{i=1}^A \frac{1}{2} (1 + \tau_\alpha(i)) \left[ \delta(\vec{x} - \vec{x}_i) \left[ -i/M_N \vec{\nabla}^{(i)} \right] \right]_{\text{sym}} \quad (\text{پ - الف } ۳۱)$$

$$\vec{\mu}(\vec{x}) = \sum_{i=1}^A \frac{1}{2} [\mu^{(0)}(0) + \mu^{(1)}(0) \tau_\alpha(i)] \delta(\vec{x} - \vec{x}_i) \frac{1}{2M_N} \vec{\sigma}^{(i)} \quad (\text{پ - الف } ۳۲)$$

همچنین، گشتاور چهارقطبی الکتریکی هسته،  $F_0$ ، متناسب با ضریب ساختاری  $F$  است:

$$F_\alpha(q) \xrightarrow{\text{LWL}} \frac{1}{6\sqrt{5}Z} \left[ \frac{J_+ + 1}{J_+} \right]^{1/2} \left[ \frac{J_+ + 1}{J_- - 1} \right] q^2 Q. \quad (\text{پ - الف } ۳۴)$$

بالاخره، همان‌طور که در فرمول ۷ در متن مقاله دیده شد، ضریب ساختاری  $F_0(q)$  در  $0^\circ$ ، شعاع میانگین مربعی را به دست می‌دهد:

$$F_0(q) = 1 - \frac{1}{6} <r^2> q^2 + \dots \quad (\text{پ - الف } ۳۵)$$

پیوست ب: مدل لایه‌ای  
برای ساختن هسته اتم در تراز زمینه، لازم است که نوکلئونها را در پاییترین تراز انرژی قرار داد. منتهی چون نوکلئونها فرمیون

که در آنها ( $i$ ) $\tau$  مولفه سوم «ایزواسپین» نوکلئون  $i$  و  $(0)$  $\mu^{(0)}$  و  $(0)$  $\mu^{(1)}$  به ترتیب گشتاور مغناطیسی «ایزواسکالار» و «ایزوپردار» نوکلئون هستند.

$$\mu^{(0)}(0) = \mu^P + \mu^n = 8798$$

$$\mu^{(1)}(0) = \mu^P - \mu^n = 47059$$

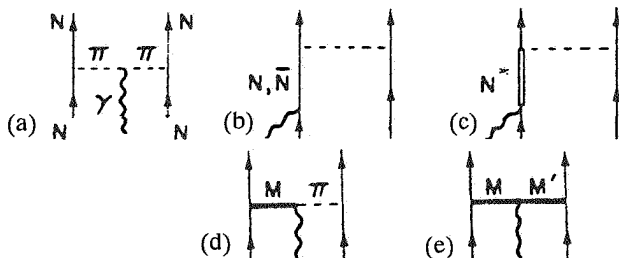
در پایان این پیوست بد نیست نگاهی نیز به ضرایب فرم در طول موجهای بلند (و یا تکانه‌های کوچک) بیندازیم. اگر ضریب فرم اندازه‌گیری شده را مجموع مربعهای ضرایب فرم چندقطبیها فرض کنیم، یعنی  $F_{L,T}(q) = \sum_J |F_J(q)|^2$ ، آنگاه می‌توان به سادگی دید که گشتاور دوقطبی مغناطیسی،  $\mu$ ، متناسب با ضریب ساختاری  $F$  در  $0^\circ$  است:

$$F_1(q) \xrightarrow{\text{LWL}} \frac{2}{3Z^2} \left[ \frac{J_+ + 1}{J_+} \right] \left[ \frac{q}{2M_N} \right]^2 \mu^2 \quad (\text{پ - الف } ۳۳)$$

نوکلئون سروکار داشته باشیم، لازم است که یا عملگر حداقل «دو ذره‌ای» باشد و یا تابع موج مورد استفاده مشخصاً دو یا چند نوکلئون را دربر بگیرد. بهترین مثال برای حالت اول جریانات مزونی است که در هسته موجودند و طبق تعریف حداقل دو نوکلئون را دربر می‌گیرند و برای حالت دوم همبستگی است که در تابع موج وارد می‌شود.

شكل زیر تمام حالات ممکن را برای درگیرکردن بیش از یک نوکلئون در جریانات مزونی و ایزوبار (برانگیختگی نوکلئون) نشان می‌دهد. شکل (a) ساده‌ترین تصویر جریان مزونی است زیرا فوتون خود را به پیون در حال پرواز جفت می‌کند. به روشنی دیده می‌شود که عملگر جریان هسته‌ای باید دو نوکلئونی باشد. شکل (b) حالتی را تصویر می‌کند که فوتون به جفت  $NN$  وصل می‌شود. شکل (c) برانگیختن مجازی و به دنبال آن و اپاشی یک نوکلئون را توسط فوتون نشان می‌دهد. شکل (d) و (e) مزونهای سنتگیتر را دربر می‌گیرند. برخی نویسنده‌گان شکل (c) را خارج از جریانهای مزونی بررسی می‌کنند. چون مزون متبادل شده [در شکلهای (a)، (b)، (d) و (e)] باید باردار باشد، جریانات مزونی (غیر از برانگیختگی نوکلئون) باید ایزوباری باشند:

$$(پ - ج ۱) \quad \tau^1 \times \tau^2 = \frac{i}{2} (\tau^1 + \tau^2)^2$$



اگر نوکلئون اول را با اندیس ۱ و نوکلئون دوم را با اندیس ۲ مشخص کنیم، جریان مزونی برای پیون در حال پرواز (شکل (a)) عبارت است از

$$(پ - ج ۲) \quad J_{\mu\nu}^{(2)}(X_1, X_2; \vec{q}) = e \left( \frac{f}{m_\pi} \right)^2 [\vec{\tau}^1 \times \vec{\tau}^2] \left[ \vec{\sigma}^1 \cdot \vec{\nabla}^1 \right] \left[ \vec{\sigma}^2 \cdot \vec{\nabla}^2 \right] \times \int_{-1/2}^{+1/2} \left[ iq \vec{r}v + \vec{x} \right] \frac{e^{-x}}{x} e^{i\vec{q} \cdot (\vec{R} - \vec{v}\vec{r})} dv \quad (پ - ج ۲)$$

توجه کنید که عبارت (پ - ج ۲) برای سبکترین مزون یعنی پیون نوشته شده است.

برای  $\bar{N}N$  (شکل (b)) جریان مزونی به صورت زیر است

$$(پ - ج ۴) \quad \vec{L}_{\mu\nu}^{(2)}(X_1, X_2; \vec{q}) = -ef^2 (\vec{\tau}^1 \times \vec{\tau}^2) \left[ (\vec{\sigma}^1 \cdot \vec{e}_r) \vec{\sigma}^2 e^{i\vec{q} \cdot \vec{X}_1} + \vec{\sigma}^1 (\vec{\sigma}^2 \cdot \vec{e}_r) e^{i\vec{q} \cdot \vec{X}_1} \right] (1 + x_\pi) \frac{e^{-x_\pi}}{x_\pi}$$

هستند و از اصل طرد پاولی پیروی می‌کنند نمی‌توان همه آنها را در کنار یکدیگر در یک تراز قرارداد. این مشکل در فیزیک اتمی با قراردادن الکترونها در لایه‌های مختلف که دارای اعداد کوانتومی متفاوت هستند حل شده است. در اواخر دهه ۴۰ قرن پیش، مایروهکسل و نیسمون و سوس [۶] همین ایده را به هسته اتم بسط دادند و با این کار تصویر بسیار ساده و زیبایی از هسته ارائه دادند. غیر از مقیاس عددی بین فیزیک اتمی و هسته‌ای، مهمترین تفاوت مدل لایه‌ای اتمی و هسته‌ای در علامت جمله جفت شدن گشتاور مداری و اسپین در پتانسیلهای مربوط است. به عبارت دیگر، در مدل لایه‌ای هسته‌ای برخلاف مدل لایه‌ای اتمی، اول مداری که دارای گشتاور مجموع بالاتر ( $L+S$ ) است پر می‌شود و بعد مدار با گشتاور مجموع پاییتر ( $L-S$ ). مدارهای پروتون و نوترون مانند هم پر می‌شوند. به طور مثال،  $O^{16}$  دارای دو پروتون در مدار  $1S_{1/2}$ ، چهار پروتون در مدار  $1P_{3/2}$  و دو پروتون در مدار  $1P_{1/2}$  است و عین همین آرایش را در مورد نوترونها نیز دارد. با توجه به جفت شدن تمام نوکلئونها، اسپین کل هسته  $O^{16}$  صفر است. چون گاف انرژی با مدار بعدی نسبتاً زیاد است و این مسئله هم در مورد پروتون و هم در مورد نوترون صادق است، به این هسته اصطلاحاً «دو بار جادویی» می‌گویند.

با افروzen یک نوترون به هسته  $O^{16}$  به  $O^{17}$  می‌رسیم که دارای مرکز  $O^{17}$  با اسپین صفر به علاوه یک نوترون در مدار  $1P_{1/2}$  است. بنابراین اسپین  $O^{17}$  که توسط آخرین نوترون تعیین می‌شود  $5/2$  است. به همین ترتیب می‌توان دید که هسته سرب مدار پروتونی  $3S_{1/2}$  را نیز پر کرده است.

برای اطلاعات بیشتر درمورد مدل لایه‌ای می‌توانید به هر کتابی در فیزیک هسته‌ای مراجعه کنید [۶].

**پیوست ج: جریانهای تبدال مزونی و همبستگی**  
برای آن که در فرایند پراکندگی، به طور مشخص با بیش از یک

که در آن  $f$  ثابت پیوند است و  $\bar{R} = \frac{1}{2}(\vec{X}_1 + \vec{X}_2)$  و  $\vec{r} = \vec{X}_1 - \vec{X}_2$  به ترتیب مختصات نسبی و مرکز ثقل دو نوکلئون هستند و

$$(پ - ج ۳) \quad \vec{x} \equiv \left[ m_\pi^2 + \frac{1}{4} q^2 (1 - 4v^2) \right]^{1/2} \vec{r}$$

که در آن  $\vec{e}$  بردار واحد در جهت  $\vec{r}$  و  $x_\pi = m_\pi r$ . در اینجا فرمول جریان مزونی حاصل از برانگیختگی نوکلئون را علی‌رغم طولانی بودنش می‌آوریم تا تصویر ارائه شده کامل شود:

$$\vec{J}_N^{(2)} \left( \vec{X}_1, \vec{X}_2, \vec{q} \right) = i \frac{m_\pi}{12M_N} \mu^{(1)}(0) \left\{ 4h_1 \left[ (\vec{q} \times \vec{e}_r) \vec{e}_r \cdot (\tau_1^\nu \sigma_2^\lambda e^{i\vec{q} \cdot \vec{x}_1} + \tau_2^\lambda \sigma_1^\nu e^{i\vec{q} \cdot \vec{x}_2}) \left( \frac{d}{dx_\pi} - \frac{1}{x_\pi} \right) \right. \right. \\ \left. \left. + \vec{q} \times (\tau_1^\nu \sigma_2^\lambda e^{i\vec{q} \cdot \vec{x}_1} + \tau_2^\lambda \sigma_1^\nu e^{i\vec{q} \cdot \vec{x}_2}) \frac{1}{x_\pi} \right] \right\} \quad (پ-ج ۵)$$

$$-h_1(\tau_1^\nu \times \tau_2^\lambda) \vec{q} \times \left[ (\sigma_1^\nu \times \sigma_2^\lambda)(e^{i\vec{q} \cdot \vec{x}_1} + e^{i\vec{q} \cdot \vec{x}_2}) \frac{1}{x_\pi} + [(\sigma_1^\nu \times \vec{e}_r) (\sigma_2^\lambda \cdot \vec{e}_r) e^{i\vec{q} \cdot \vec{x}_1} - (\sigma_2^\lambda \times \vec{e}_r) (\sigma_1^\nu \cdot \vec{e}_r) e^{i\vec{q} \cdot \vec{x}_2}] \right. \\ \left. \times \left[ \frac{d}{dx_\pi} - \frac{1}{x_\pi} \right] \right] \left[ \frac{d}{dx_\pi} \frac{e^{-x_\pi}}{x_\pi} \right]$$

که در آن  $\phi$  دترمینان اسلیتر<sup>۱</sup> برای تراز زمینه هسته است و  $f(\vec{r}_1, \vec{r}_2)$  همبستگی از نوع جاسترو<sup>۲</sup> است [۲۸]. این تابع موج چون همبستگی بین دو نوکلئون است؛ تابع موج زیر تقریب‌زده می‌شود:

$$(پ-ج ۷) \quad \phi_B(\vec{r}_1, \vec{r}_2) \approx \phi_{SM}(\vec{r}_1, \vec{r}_2) f(|\vec{r}_1 - \vec{r}_2|)$$

که در آن  $\phi_{SM}$  تابع همبستگی از نوع مدل لایه‌ای است که شامل اصل پاؤلی و محدودبودن سیستم مورد نظر است. ولی همبستگی اصلی که بین دو هسته وجود دارد و از نوع نزدیک برد است در تابع  $\phi$  نهفته است. یک تقریب دیگر که در این نوع محاسبات معمول است، نادیده گرفتن نامتقارن کردن و تأثیرات گشتاور اسپین و ایزواسپین است. با این تقریب:

$$(پ-ج ۸) \quad \phi_{SM}(\vec{r}_1, \vec{r}_2) \approx \phi_{n_1, l_1}(\vec{r}_1) \phi_{n_2, l_2}(\vec{r}_2)$$

در فرمول (پ-ج ۷)، فرمول (۲۲) در متن مقاله به دست می‌آید.

در پایان بد نیست به دو تابع همبستگی که در محاسبات جاری استفاده می‌شوند در اینجا اشاره کنیم. تابع اول:

که در آن  $m_\pi = 740$  و  $h_1 = 658$  هستند. توجه کنید که در اینجا علاوه بر مبادله پیون باردار (جمله  $\vec{r}_1 \times \vec{r}_2$ ، پیون بدون بار  $\pi^0$ ) نیز مبادله می‌شود (جمله  $\vec{r}_1 \cdot \vec{r}_2$ ). علاوه بر این، می‌توان نشان داد که مؤلفه زمان ( $J_\mu^{(2)}$ ) در تمام اشکال برای پایینترین مرتبه صفر است:  $\approx 0$ .

به این معنی که جریانات مزونی به عملگر «کولن» در این مرتبه کاری ندارند و عملگر جریان مزونی عمده‌تاً عملگری است عرضی. با معلوم بودن تابع موج هسته، می‌توان از این عملگر مثل عملگر «یک ذره‌ای» استفاده کرد.

همبستگی، برخلاف جریانات مزونی که در فرمالیسم عملگر وارد می‌شوند، در قسمت تابع موج وارد عمل می‌شوند. این به معنی آن است که وقتی دو نوکلئون در هسته به هم وابسته‌اند، تابع موجی که با آن محاسبات انجام می‌گیرند متفاوت خواهد بود، در کلیترین حالت، تابع موج هسته‌ای که در آن همبستگی وجود دارد به صورت زیر است:

$$\psi(\vec{r}_D, \dots, \vec{r}_A) = \prod_{i < j} f(|\vec{r}_i - \vec{r}_j|) \phi(\vec{r}_D, \dots, \vec{r}_A) \quad (پ-ج ۹)$$

$$f_1(r) = \begin{cases} 0 & r \leq c \\ \{1 - \exp[-\mu^2(1-c)^2]\} \{1 + \gamma \exp[-\mu^2(r-c)^2]\} & r > c \end{cases} \quad (پ-ج ۹)$$

محاسبات ماده هسته‌ای به دست آمده است. به صورت زیر است:

که در آن  $c = 6 fm$ ،  $\mu = 118 fm^{-1}$  و  $\gamma = 78$  است. با توجه به بزرگی نوکلئون (تقریباً  $1 fm$ )، بزرگی این پارامترها معقول به نظر می‌رسد. یک تابع دیگر که با استفاده از

$$f(r) = [1 - \exp(-r^2/\beta^2)]^n + hr^m \exp(-r^2/\gamma^2) \quad (پ - ج ۱۰)$$

$f(r) = 1 - \exp(-\alpha r) \quad (پ - ج ۱۱)$   
به ازای  $r = 8 \text{ fm}$  طبیعی است که نتایج حاصل از این محاسبات از واقعیت نیز دور خواهد بود.

که در آن  $\beta = 4.83 \text{ fm}$ ،  $\gamma = 9.79 \text{ fm}$ ،  $n = 1$ ،  $h = 0.1$ ،  $m = 5.02 \text{ fm}$  هستند. در محاسبات بسیار ساده، می‌توان با تابع وابستگی زیر شروع کرد:

## مراجع

1. E. Rutherford, Phil. Mag **21** (1911) 669.
2. R. Hostadter, Rev. Mod. Phys. **28** (1956) 214.
3. W. R. Leo, Techniques for Nuclear and Particle Physics Experiments, Springer-Verlag (1994)
4. T. de Forest, Jr. and J.D. Walecka, Adv. in Phys. **15** (1996) 1.
5. نتیجه آزمایشها از چند آزمایشگاه مختلف در مقاله B. Frois and C.N. Papanicolas, Ann. Rev. of Nucl. Part. Sci. **37** (1988).
6. M. G. Meyer, Phys. Rev. **C21** (1988) 1568.
7. B. Frois et al., Nucl. Phys. **A396** (1983) 4090.
8. J. Wesseling et al., Submitted to Nucl. Phys. A for Publication.
9. J. Kaiantar - Nayestanaki et al., Phys. Rev. Lett. **60** (1988) 1707; M. V. Hynes et al., Phys. Rev. Lett. **42** (1979) 1444.
10. T. W. Donnelly and I. Sick, Rev. Mod. Phys. **56** (1985) 461.
11. T. de Forest, Jr., Nucl. Phys. **A392** (1983) 232.
12. G. Vander Steenhoven et al., Nucl. Phys. **A480** (1988) 547.
13. L. Lapikás, Nucl. Phys. **A553** (1993) 297c.
14. M. Gourdin, Nuovo Cim. **21** (1961) 1094.
15. T. de Forest, Jr., Ann. Phys. **45** (1967) 365.
16. P. Barreau et. al, Nucl. phys. **A402** (1983) 515.
17. J. M. Laget, Phys. Rep. **69** (1981) 1; Nucl. Phys. A **358** (1981) 275c.
18. P. E. Ulmer et al., Phys. Rev. Lett. **59** (1986) 2364.
19. R. W. Lourie et al., Phys. Rev. Lett. **56** (1986) 2364.
20. H. Baghaei et al., Phys. Rev. **C39** (1989) 177.
21. M. Kanazawa et al., Phys. Rev. **C535** (1987) 1828.
22. L. j. H. M. Kester et al., Phys. Rev Lett. **74** (1995) 1712.
23. C. Giusti and F. D. Pacati, Nucl. Phys. **A535** (1991) 573; C. Giusti et al., Nucl. Phys. **A546** (1991) 607.
24. P. K. A. de Witt Huberts, Prog. Part. Nucl. Phys., **34** (1944) 17.
25. I. Bobeldijk et al., Phys. Rev. Lett. **72** (1994) 2684.
26. E. N. M. Quint, Ph. D. thesis, University of Amsterdam (1988), unpublished.
27. A. R. Edmonds, Angular Momentum in Quantum Mechanics, Princeton University Press (1957).
28. R. Jastrow, phys. Rev. **98** (1955) 1979.